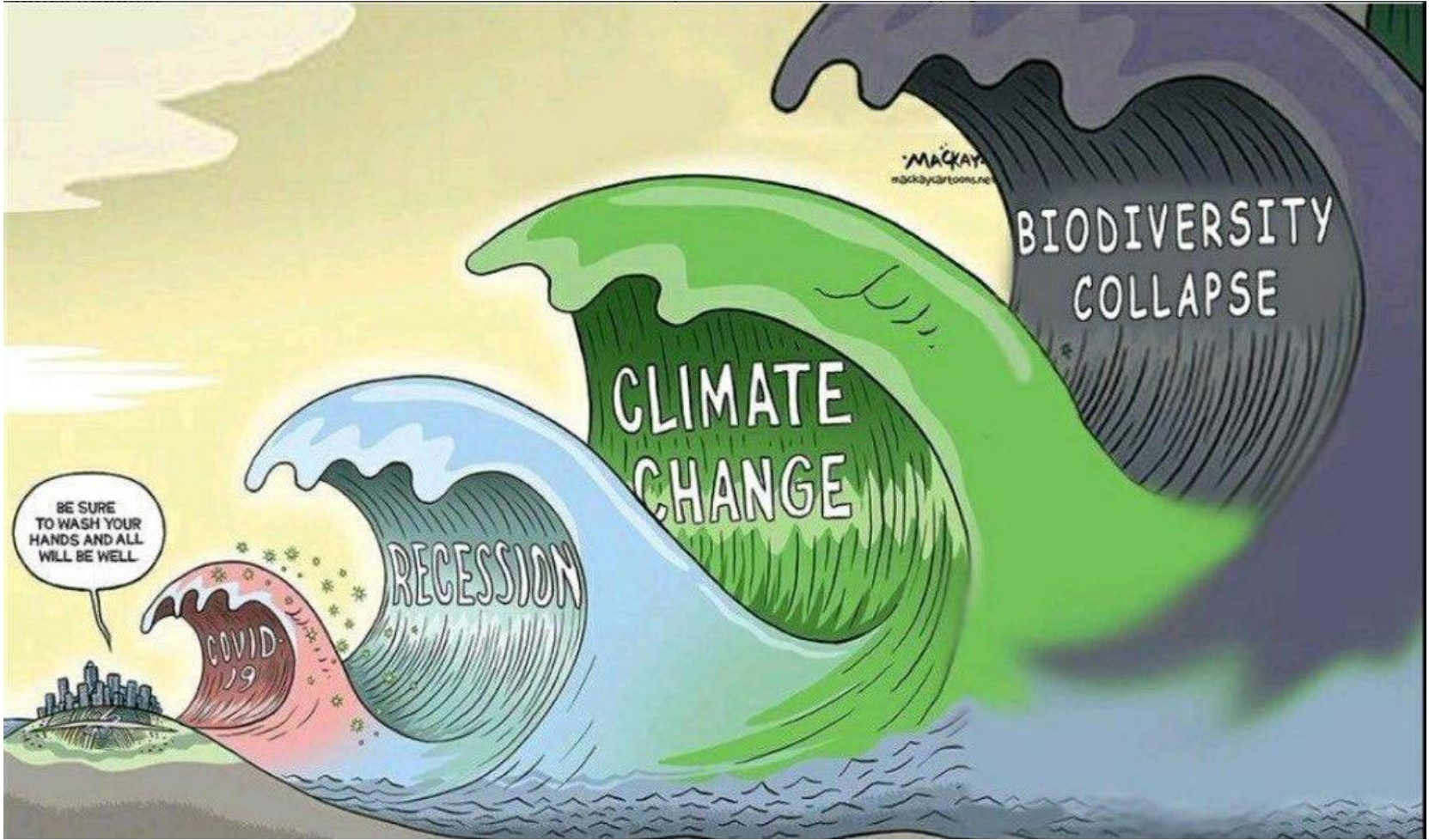
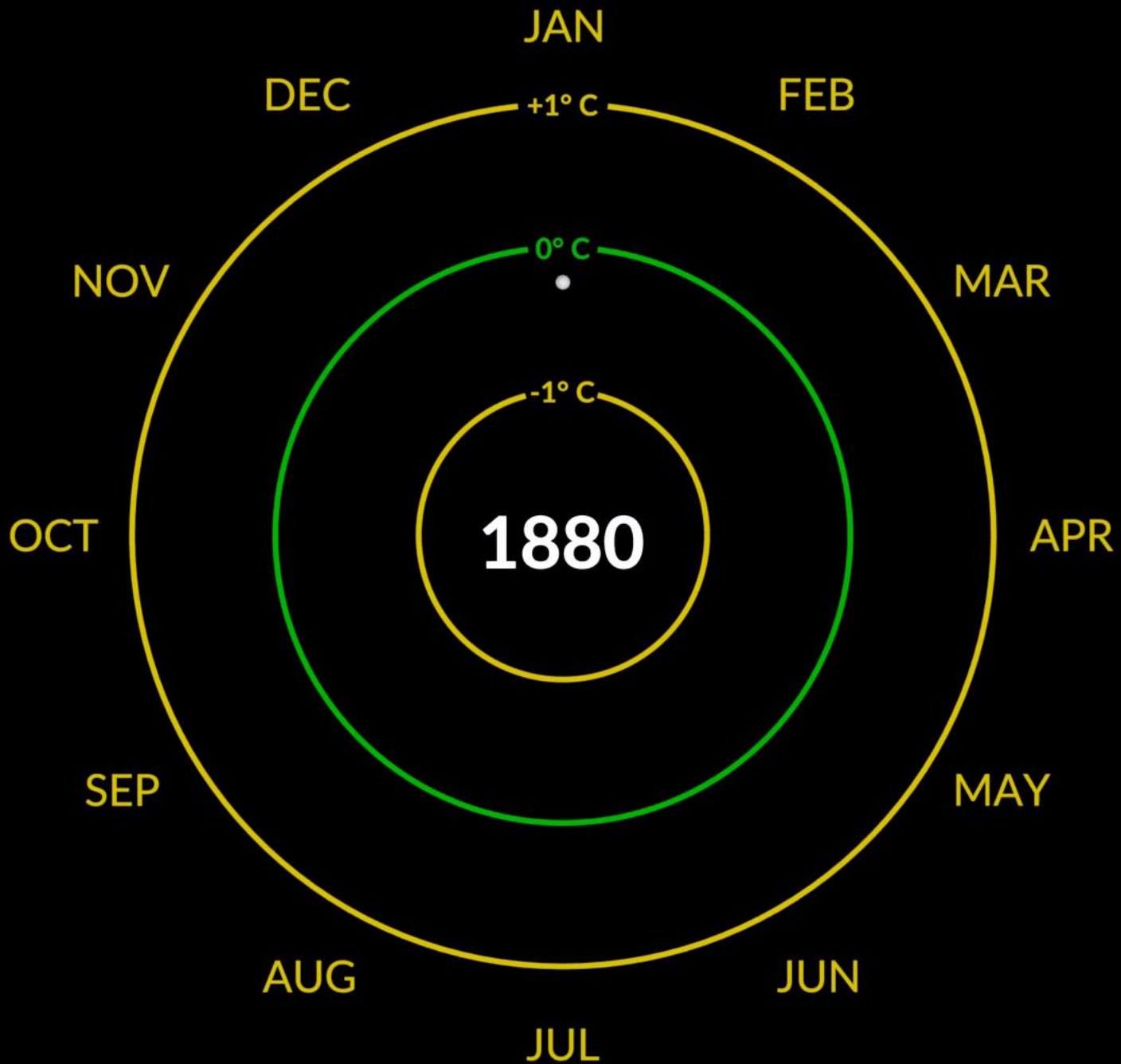


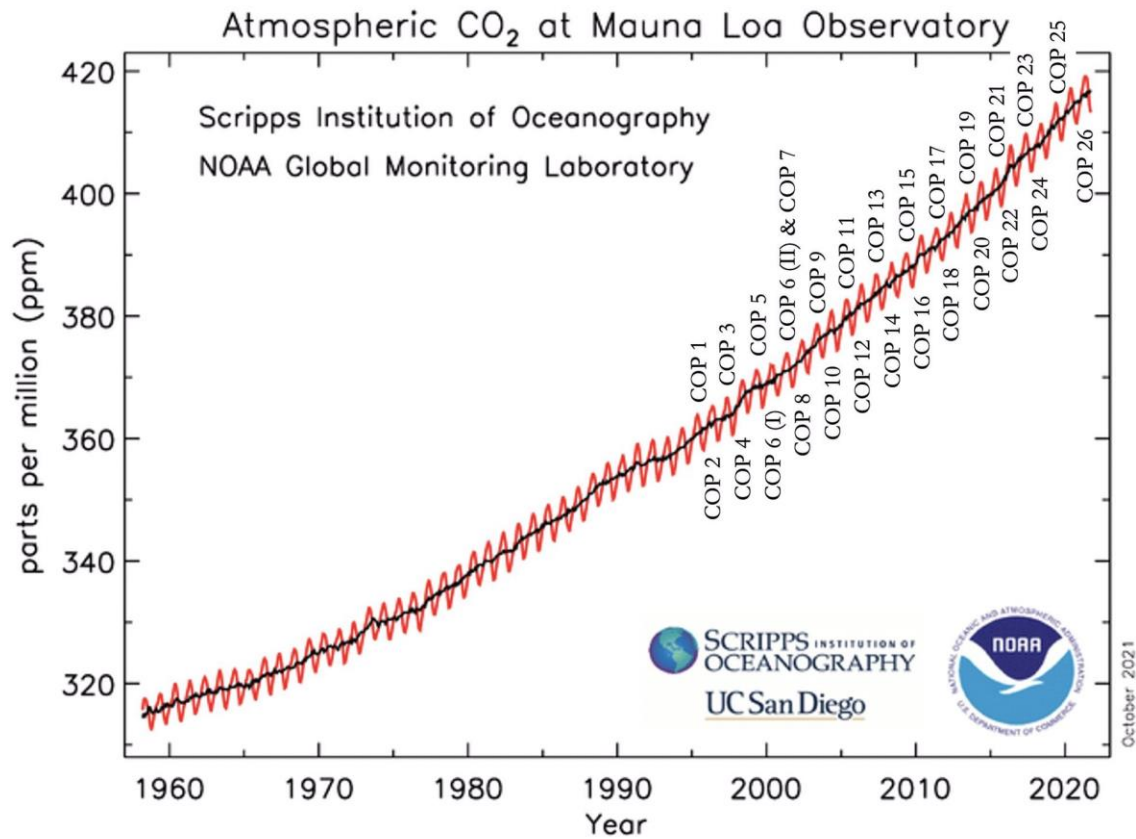
Cambio climático y producción de trigo en el Norte de México



Dr. Kai Sonder & Dr. Juan Arista
Unidad de Sistemas de Información Geográfica
Centro Internacional de Mejoramiento de Maíz y Trigo
CIMMYT

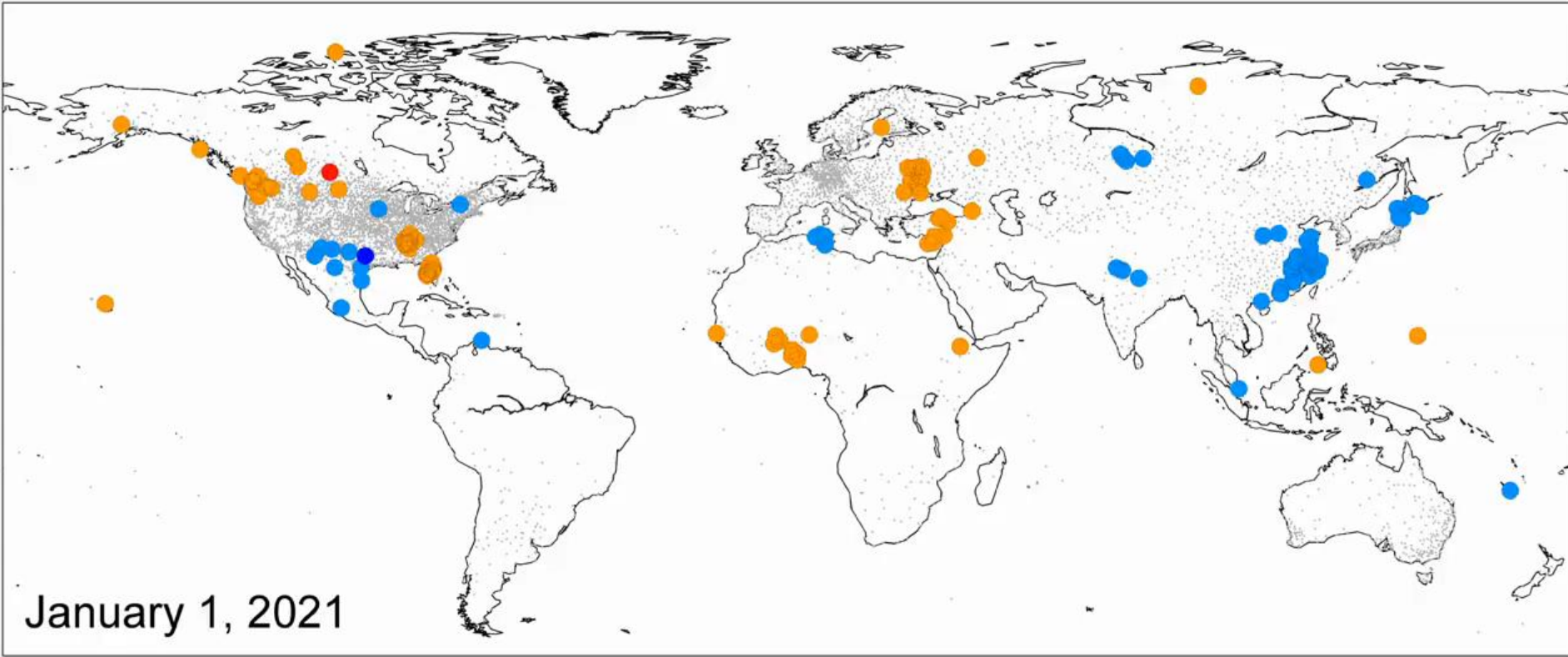






“Sigue los lideres,” Berlin,
Alemania, April 2011.
Isaac Cordal





January 1, 2021

New Record High



New Record Low

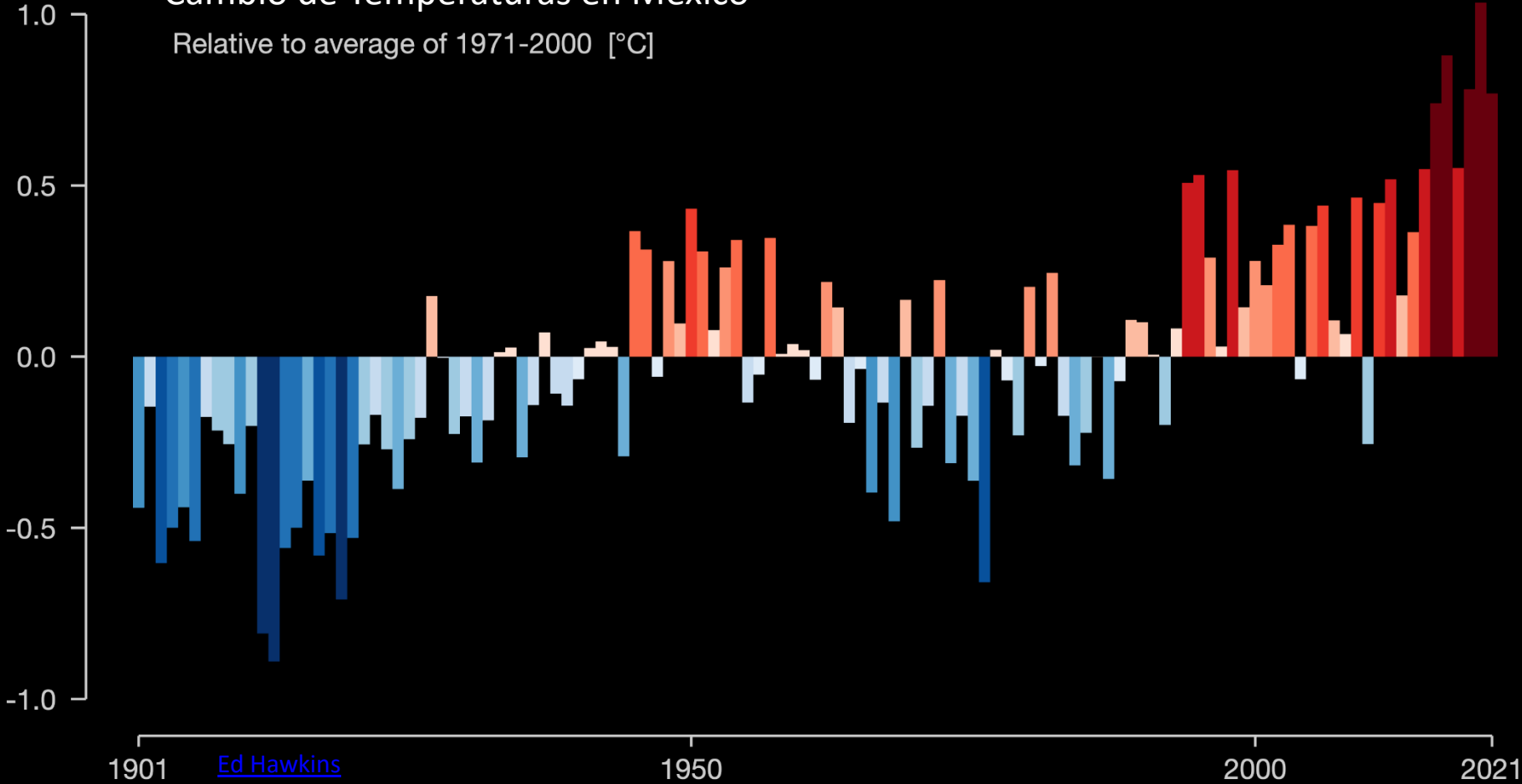


Based on daily high and low temperature at 8524 weather stations with at least 40 years of observations. Raw data is used, records may still require verification.



Cambio de Temperaturas en Mexico

Relative to average of 1971-2000 [°C]



Mecanismos de *forzamiento* radiativo

Componente de escenario	RCP2.6	RCP4.5	RCP6	RCP8.5
Emisiones de gases de invernadero	Muy bajos	Mitigación baja-medio Línea base muy baja	Línea base media Alta mitigación	Línea base alta
Área agrícola	Medio para áreas de cultivos y pastizales	Muy bajo para ambos áreas de cultivos y pastizales	Mediana para áreas de cultivos pero muy baja para pastizales	Mediana para ambos áreas de cultivos y pastizales
Polución del aire	Mediana-Baja	Mediana	Mediana	Mediana-Alta

RCP	Descripción
8.5	Aumenta camino de forzamiento de radiación hasta 8.5 W/m ² (~1370 ppm CO ₂ eq) en 2100
6	Camino de estabilización hacia 6 W/m ² (~850 ppm CO ₂ eq) en el 2100
4.5	Estabilización sin pasar hasta 4.5 W/m ² (~650 ppm CO ₂ eq) después del 2100
2.6	Máximo de forzamiento de radiación en ~3 W/m ² (~490 CO ₂ eq) antes del 2100 y después reducción (baja a 2.6 W/m ²) en 2100

Global CO₂ Emissions

Forcing target and temperature range in 2100

Baseline (3.0–5.1°C)

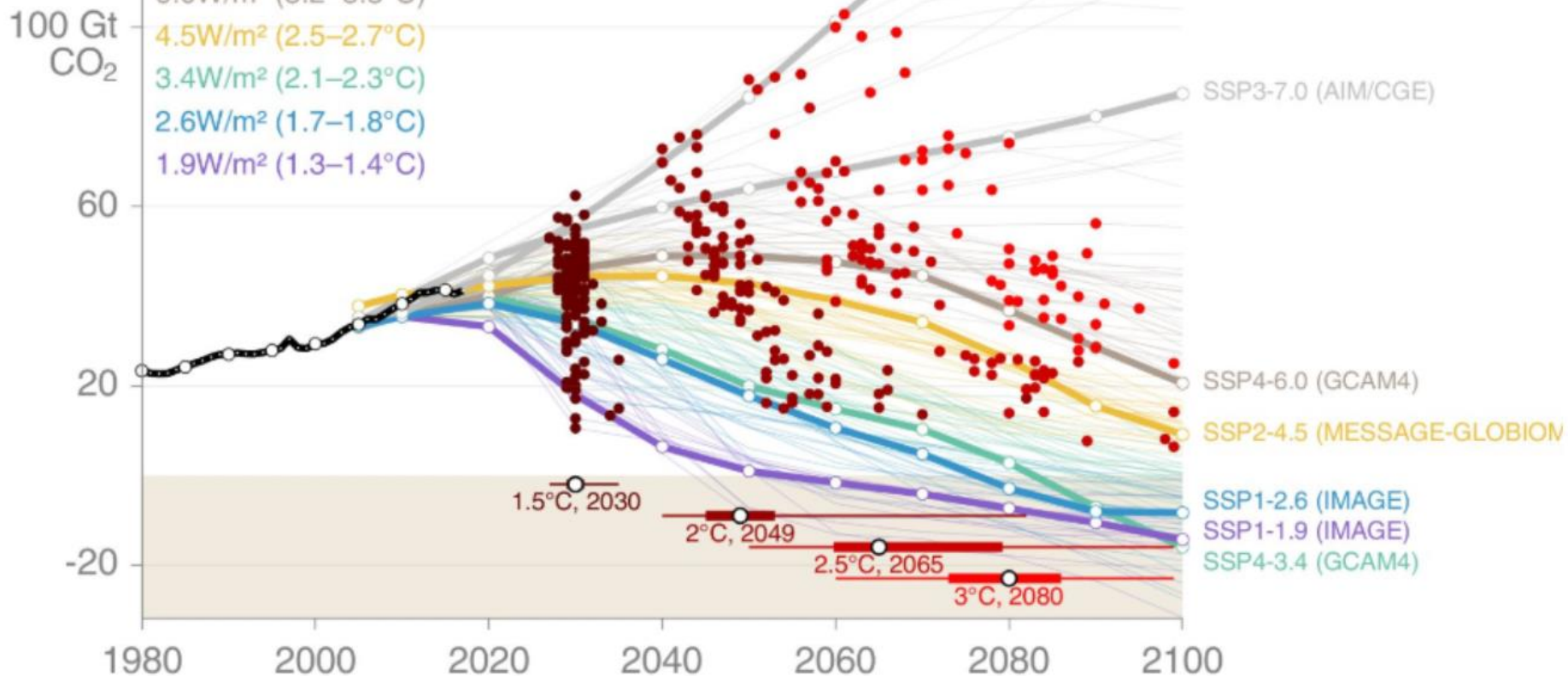
6.0W/m² (3.2–3.3°C)

4.5W/m² (2.5–2.7°C)

3.4W/m² (2.1–2.3°C)

2.6W/m² (1.7–1.8°C)

1.9W/m² (1.3–1.4°C)

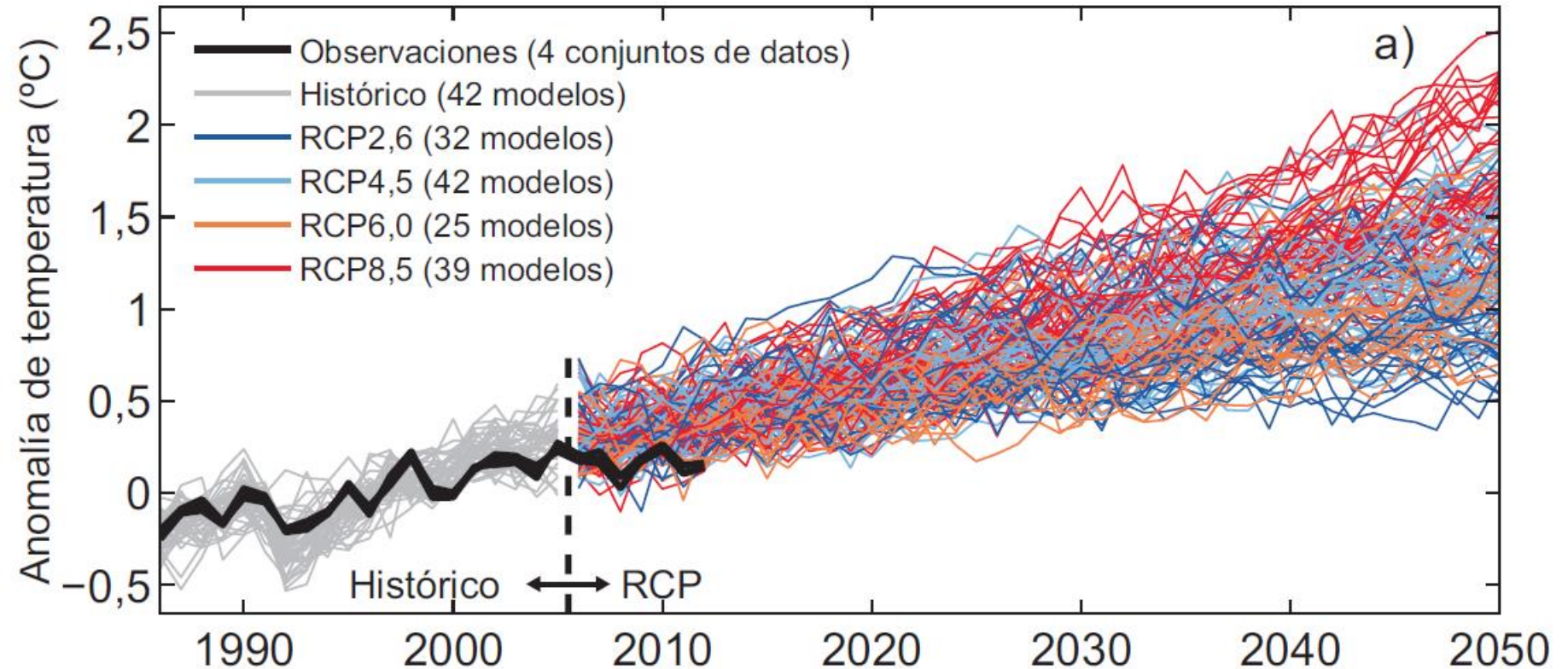


© Global Carbon Project • Data: Riahi et al (2017), Rogelj et al (2018), SSP Database (version 2)



Cambios de Temperatura

Proyecciones a corto plazo de la temperatura media global en relación con 1986-2005



Modelos de Circulación Global

Modeling Center (or Group)	Institute ID	Model Name
Commonwealth Scientific and Industrial Research Organization (CSIRO) and Bureau of Meteorology (BOM), Australia	CSIRO-BOM	ACCESS1.0 ACCESS1.3
Beijing Climate Center, China Meteorological Administration	BCC	BCC-CSM1.1 BCC-CSM1.1(m)
Instituto Nacional de Pesquisas Espaciais (National Institute for Space Research)	INPE	BESM OA 2.3*
College of Global Change and Earth System Science, Beijing Normal University	GCESS	BNU-ESM
Canadian Centre for Climate Modelling and Analysis	CCCMA	CanESM2 CanCM4 CanAM4
University of Miami - RSMAS	RSMAS	CCSM4(RSMAS)*
National Center for Atmospheric Research	NCAR	CCSM4
Community Earth System Model Contributors	NSF-DOE-NCAR	CESM1(BGC) CESM1(CAM5) CESM1(CAM5.1,FV2) CESM1(FASTCHEM) CESM1(WACCM)
Center for Ocean-Land-Atmosphere Studies and National Centers for Environmental Prediction	COLA and NCEP	CFSv2-2011
Centro Euro-Mediterraneo per i Cambiamenti Climatici	CMCC	CMCC-CESM CMCC-CM CMCC-CMS
Centre National de Recherches Météorologiques / Centre Européen de Recherche et Formation Avancée en Calcul Scientifique	CNRM-CERFACS	CNRM-CM5
		CNRM-CM5-2
Commonwealth Scientific and Industrial Research Organization in collaboration with Queensland Climate Change Centre of Excellence	CSIRO-QCCCE	CSIRO-Mk3.6.0
EC-EARTH consortium	EC-EARTH	EC-EARTH
LASG, Institute of Atmospheric Physics, Chinese Academy of Sciences and CESS, Tsinghua University	LASG-CESS	FGOALS-g2

Modelos de Circulación Global

LASG, Institute of Atmospheric Physics, Chinese Academy of Sciences	LASG-IAP	FGOALS-g1 FGOALS-s2
The First Institute of Oceanography, SOA, China	FIO	FIO-ESM
NASA Global Modeling and Assimilation Office	NASA GMAO	GEOS-5
NOAA Geophysical Fluid Dynamics Laboratory	NOAA GFDL	GFDL-CM2.1 GFDL-CM3 GFDL-ESM2G GFDL-ESM2M GFDL-HIRAM-C180 GFDL-HIRAM-C360
NASA Goddard Institute for Space Studies	NASA GISS	GISS-E2-H GISS-E2-H-CC GISS-E2-R GISS-E2-R-CC
National Institute of Meteorological Research/Korea Meteorological Administration	NIMR/KMA	HadGEM2-AO
Met Office Hadley Centre (additional HadGEM2-ES realizations contributed by Instituto Nacional de Pesquisas Espaciais)	MOHC (additional realizations by INPE)	HadCM3 HadGEM2-CC HadGEM2-ES HadGEM2-A
Institute for Numerical Mathematics	INM	INM-CM4
Institut Pierre-Simon Laplace	IPSL	IPSL-CM5A-LR IPSL-CM5A-MR IPSL-CM5B-LR
Japan Agency for Marine-Earth Science and Technology, Atmosphere and Ocean Research Institute (The University of Tokyo), and National Institute for Environmental Studies	MIROC	MIROC-ESM MIROC-ESM-CHEM
Atmosphere and Ocean Research Institute (The University of Tokyo), National Institute for Environmental Studies, and Japan Agency for Marine-Earth Science and Technology	MIROC	MIROC4h MIROC5
Max-Planck-Institut für Meteorologie (Max Planck Institute for Meteorology)	MPI-M	MPI-ESM-MR MPI-ESM-LR MPI-ESM-P
Meteorological Research Institute	MRI	MRI-AGCM3.2H MRI-AGCM3.2S MRI-CGCM3 MRI-ESM1
Nonhydrostatic Icosahedral Atmospheric Model Group	NICAM	NICAM.09
Norwegian Climate Centre	NCC	NorESM1-M NorESM1-ME

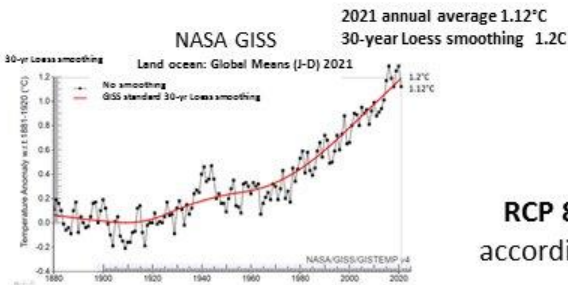


Vamos en mal camino

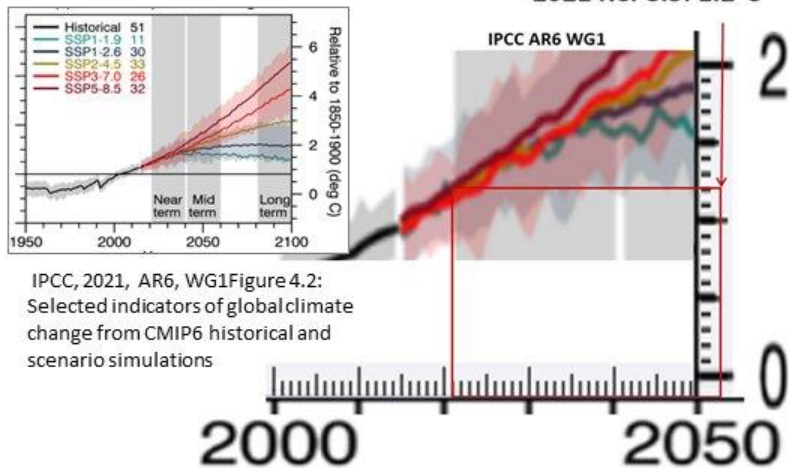
Global warming is tracking the worst-case scenario Use of 1.2°C for 2021 confirmed by global warming index

1. The global warming index is from emissions only
2. Latest global warming Index 21 Feb. 2021 is 1.244°C
3. The December 2021 Index was 1.215°C (below)
2021 was under a cooling La Nina, explaining why some results were lower than the Berkeley Earth 1.2°C

2021 global warming of 1.2°C from Berkely Earth & smoothed NASA GISS is used



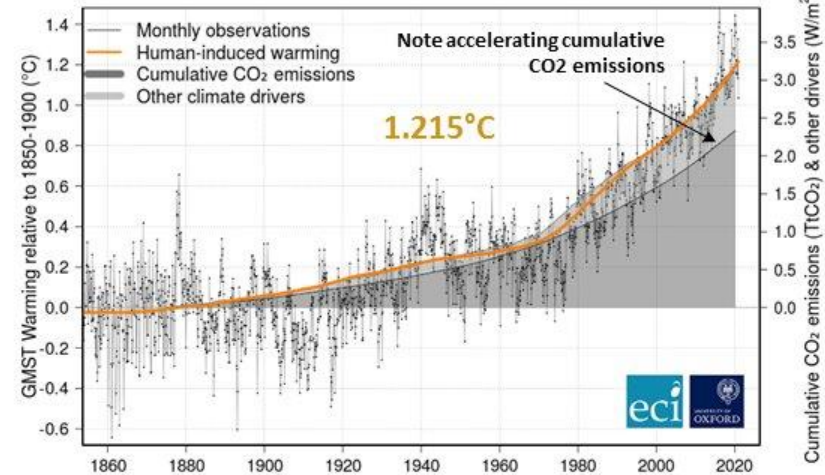
RCP 8.5 at 2021 is 1.2°C according to IPCC AR6 WG1
2021 RCP8.5: 1.2°C



IPCC, 2021, AR6, WG1 Figure 4.2: Selected indicators of global climate change from CMIP6 historical and scenario simulations

Human-induced warming: +1.244581093 °C
on Mon. 21 Feb 2022 23:43:49 GMT

Global Warming Index & Forcing Contributions - updated to Dec 2020



Globalwarmingindex.org is provided by the Oxford of University Environmental Change Institute and the University of Leeds Priestley International Centre for Climate.

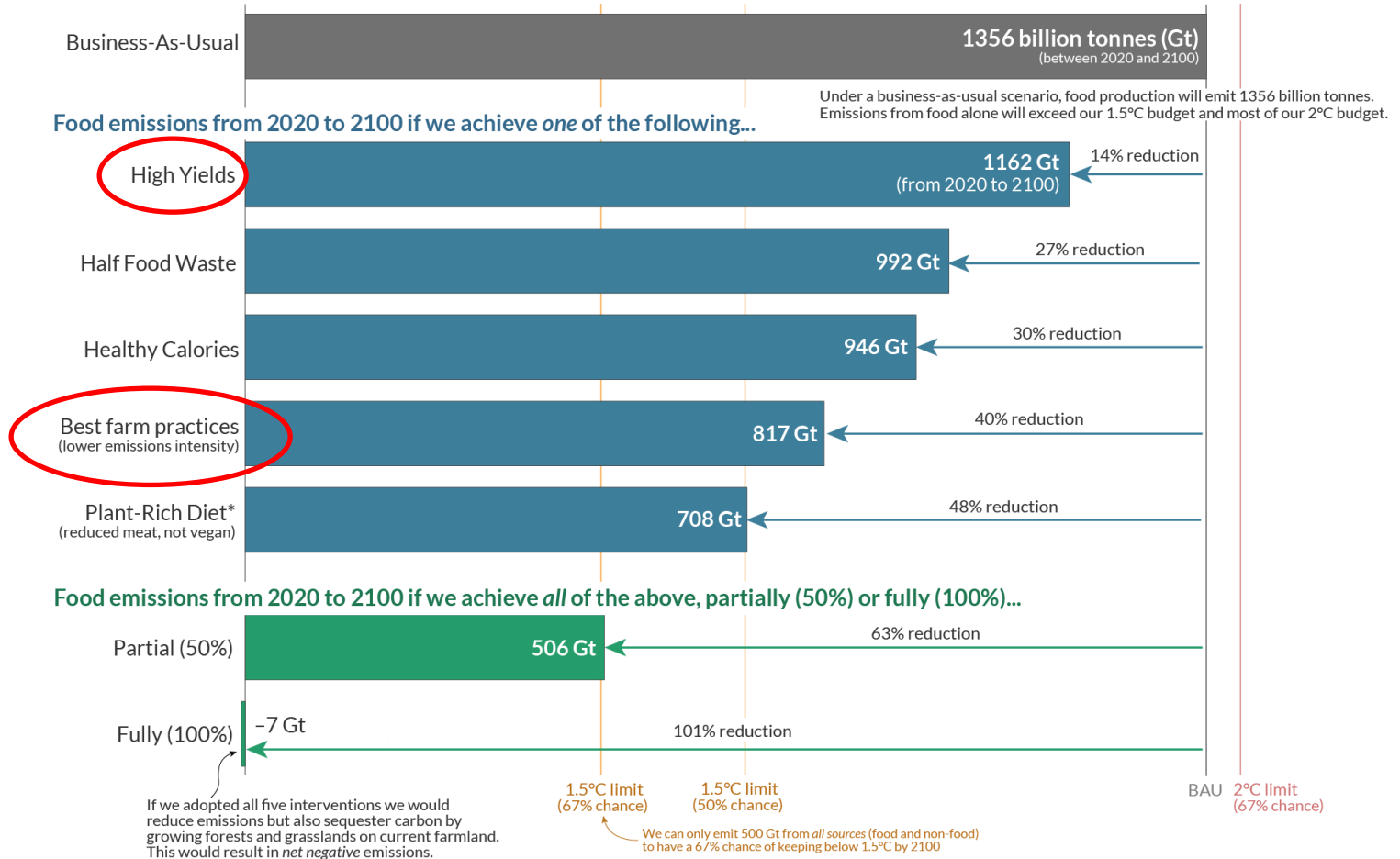
Peter Carter, Climate Emergency Institute

Pero hay algunas opciones

How can we reduce global greenhouse gas emissions from food?

Shown are estimates of cumulative greenhouse gas emissions from food production from 2020 to 2100 under a business-as-usual scenario, and five interventions to reduce emissions.

This is measured in global warming potential (GWP*) CO₂ warming-equivalents (CO₂-we).



*Based on the EAT-Lancet Planetary Health diet which includes reduces but does not eliminate meat or dairy consumption.

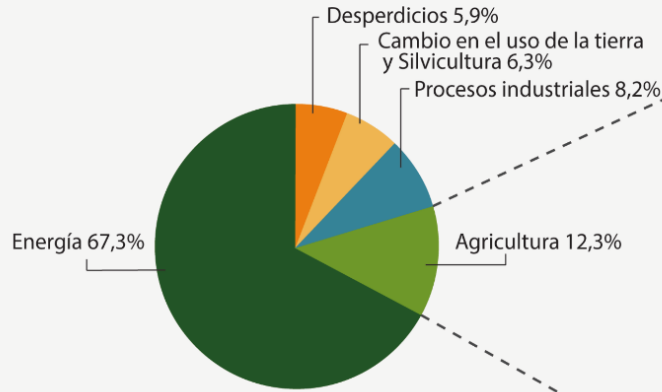
Source: Michael Clark et al. (2020). Global food system emissions could preclude achieving the 1.5° and 2°C climate change targets. *Science*.

OurWorldinData.org - Research and data to make progress against the world's largest problems.

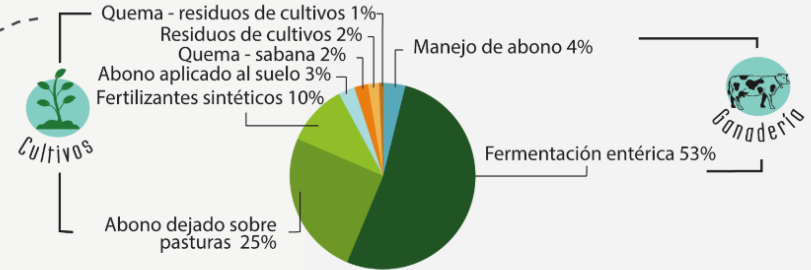
Licensed under CC-BY by the author Hannah Ritchie.

Emisiones a nivel Mexico

Emisiones de GEI ^[14]



Emisiones de GEI de la Producción Agropecuaria ^[14]



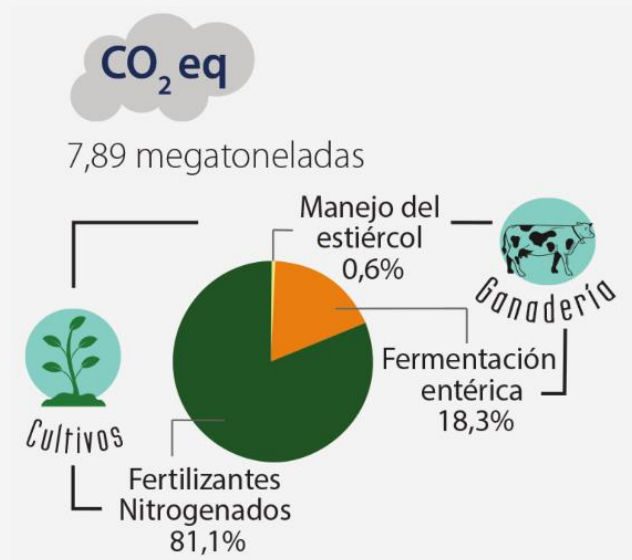
50,2%
46,2 megatoneladas
de emisiones de GEI totales
por cultivos

49,8%
45,5 megatoneladas
de emisiones de GEI totales
agrícolas por la ganadería

CIAT CCAFS, CATIE

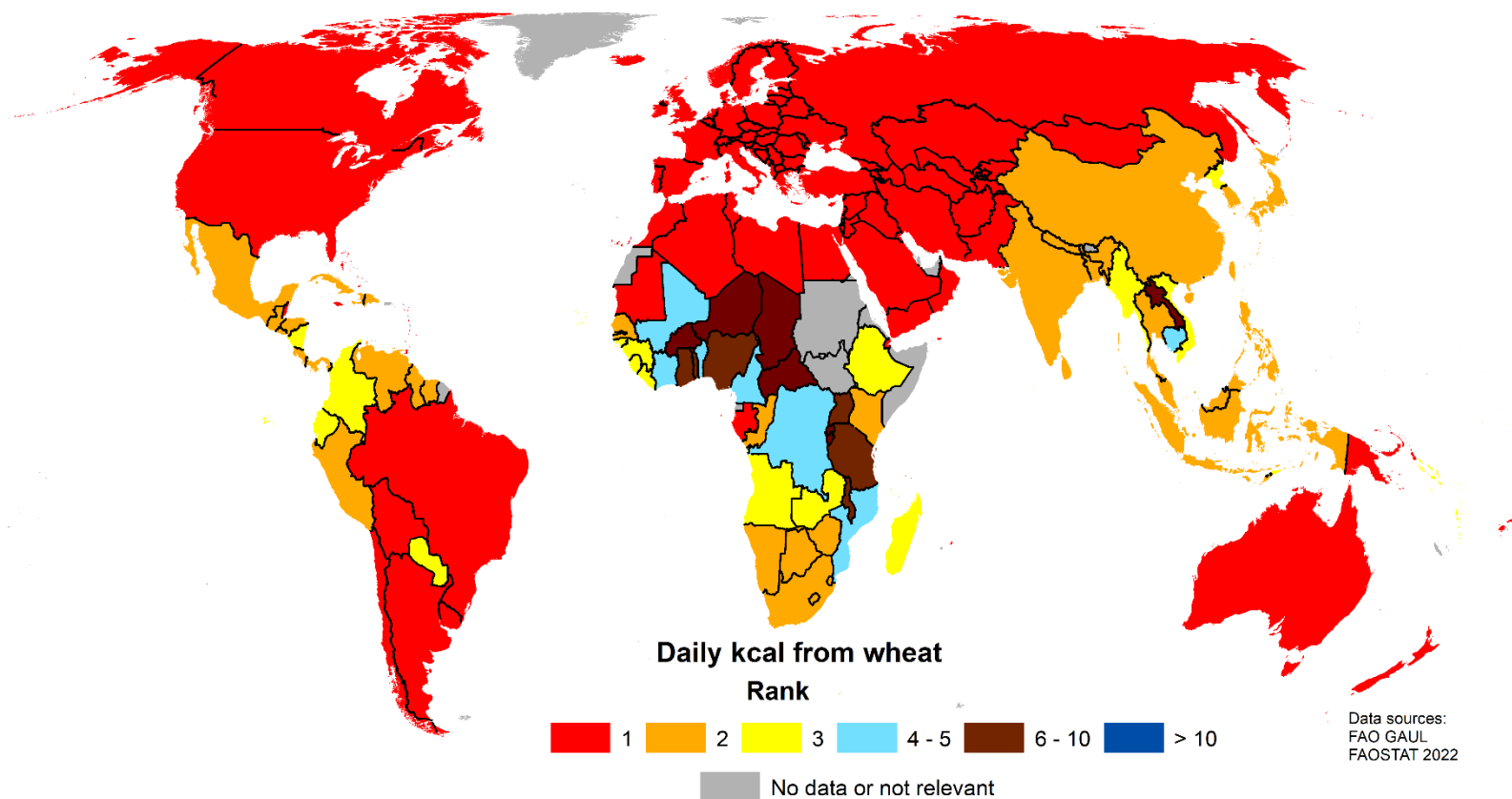
Emisiones a nivel Sinaloa

Emisiones de GEI de la Producción Agropecuaria [12]

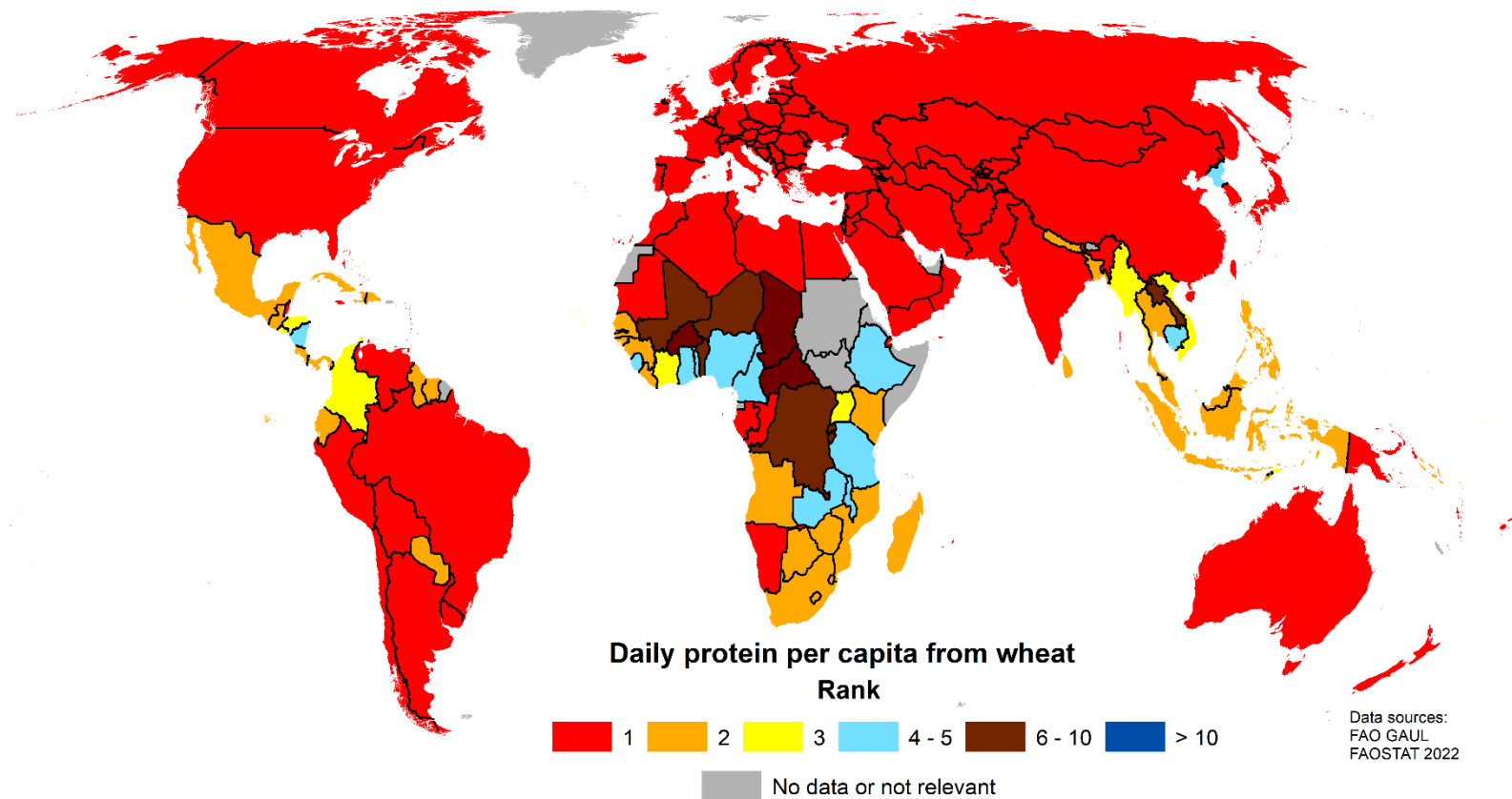


CIAT CCAFS, CATIE

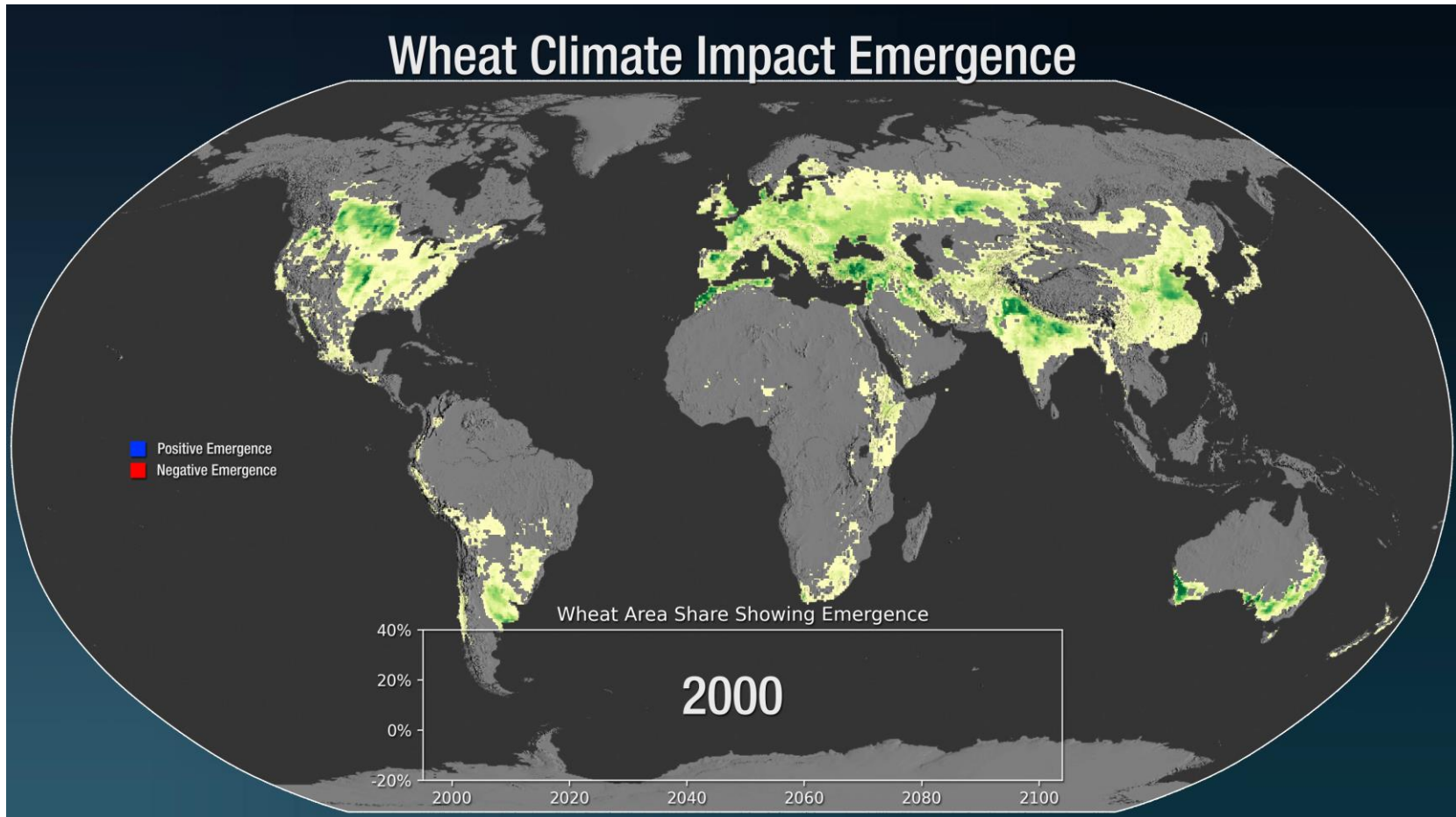
Importancia Trigo energía diaria



Importancia Trigo proteína diaria

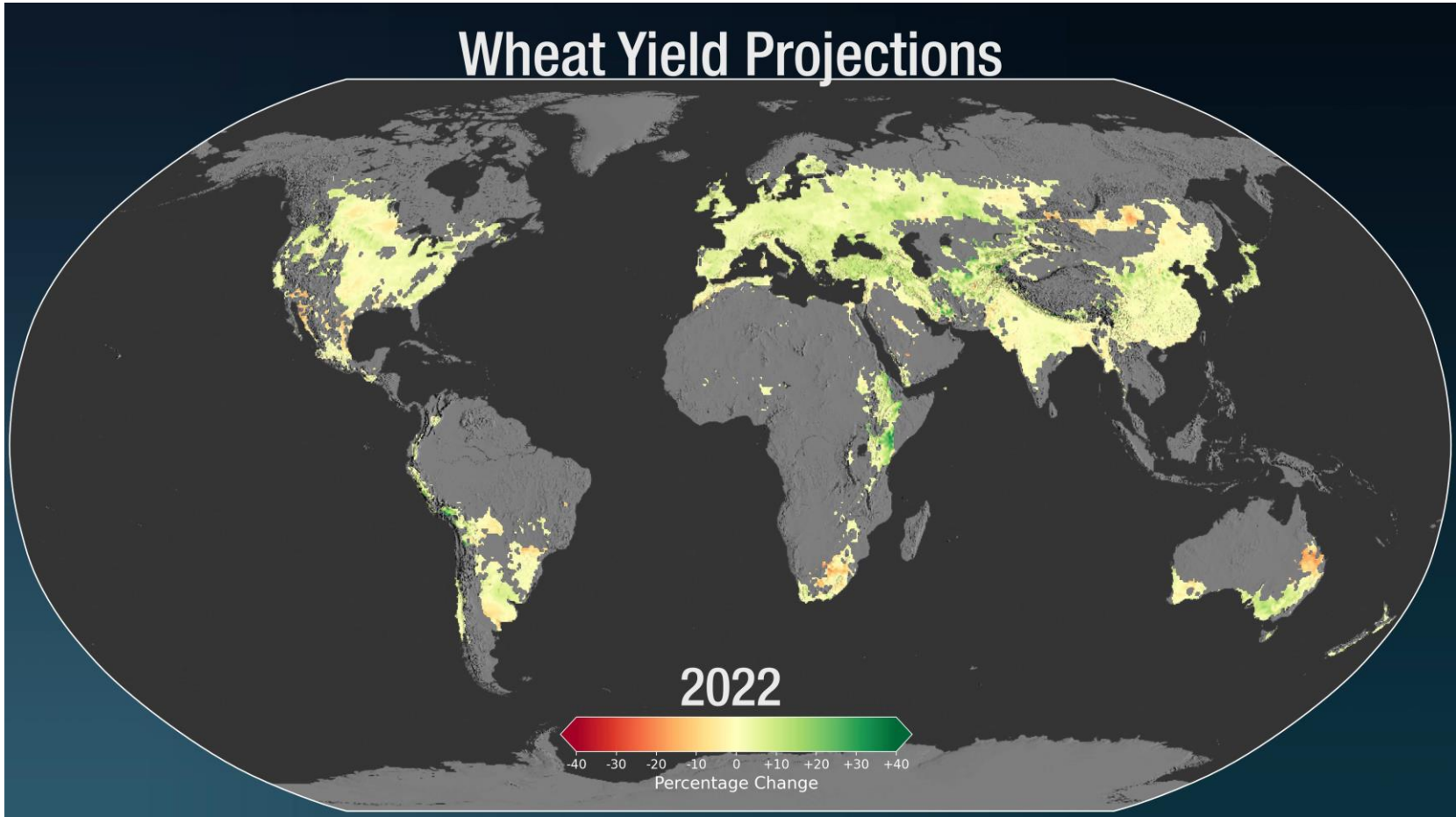


Emergencia cambios positivos o negativos para trigo



Jaegermeyr et al, 2021
Nature

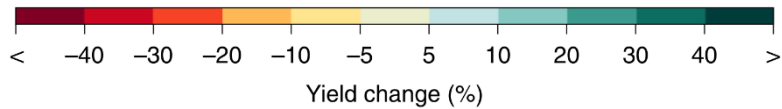
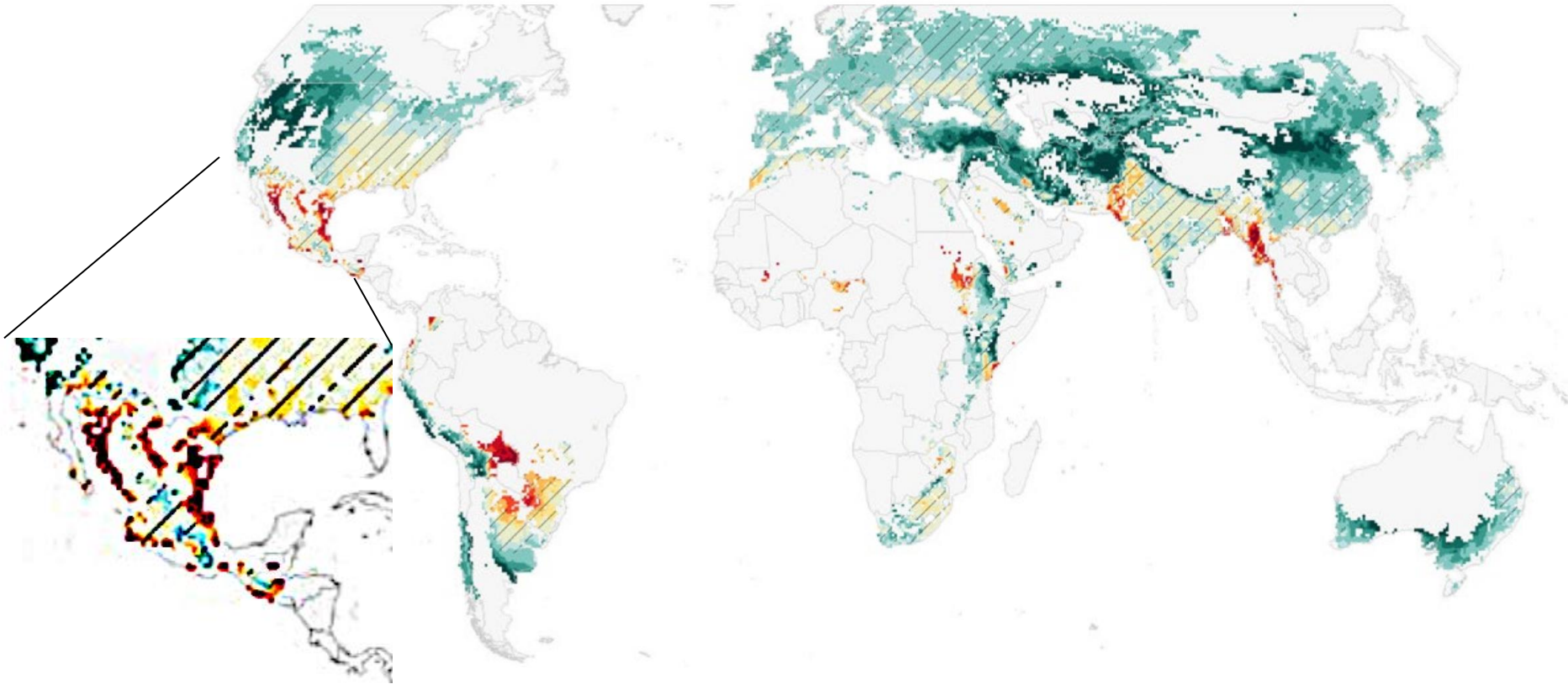
Impacto de cambios positivos o negativos para rendimiento de trigo



Jaegermeyr et al, 2021
Nature



Impacto de cambios positivos o negativos para rendimiento de trigo



Jaegermeyr et al, 2021
Nature



Impacto sobre producción de trigo en Jalisco, Ciénaga de Chapala

Zarazua-Villaseñor et al., 2015

Cuadro 1. Escenarios futuros estimados de algunos parámetros agroclimáticos del ciclo otoño-invierno en la región de estudio.

Parámetro agroclimático	Ciclo otoño-invierno								
	1977-2006	2019-2020	2029-2030	2039-2040	2049-2050	2059-2060	2069-2070	2079-2080	2089-2090
Evapotranspiración (mm)	613.6	658.4	666.7	683.8	698.1	715	733.5	753	771.4
Temperatura diurna (°C)	21.4	22.7	22.8	23.4	23.7	24.3	24.8	25.4	26
Temperatura nocturna (°C)	14.4	14.9	14.8	15.1	15.3	15.5	15.8	16.1	16.4
Unidades calor (UC _{Base5})	2330	2504	2502	2575	2623	2694	2767	2853	2923
Lluvia invernal (%)	3.8	3.3	3.8	3.7	2.8	3.1	4.1	3.5	3.7
Horas frío	148	16	26	0	0	0	0	0	0



Impacto sobre producción de trigo en Jalisco, Ciénaga de Chapala

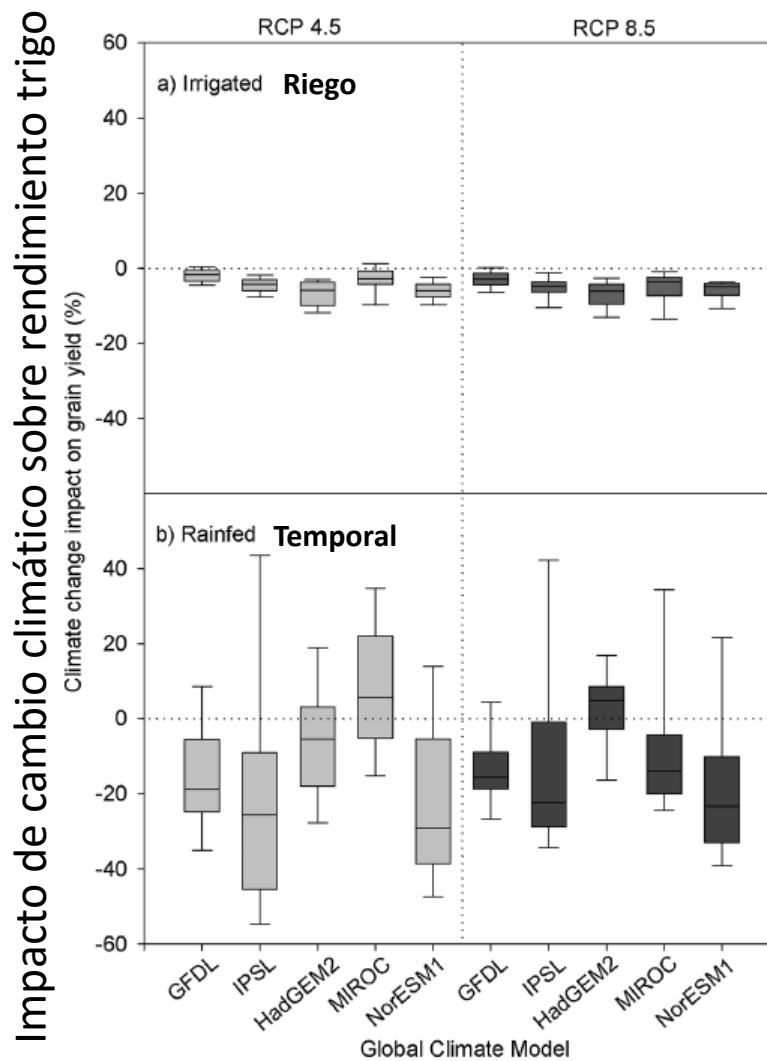
Zarazua-Villaseñor et al., 2015

Conclusiones:

- Reducción horas frío
- Aumento temperaturas diurnas y nocturnas
- Aumento de estrés de calor
- Aumento de evapotranspiración



Impacto sobre producción de trigo en México

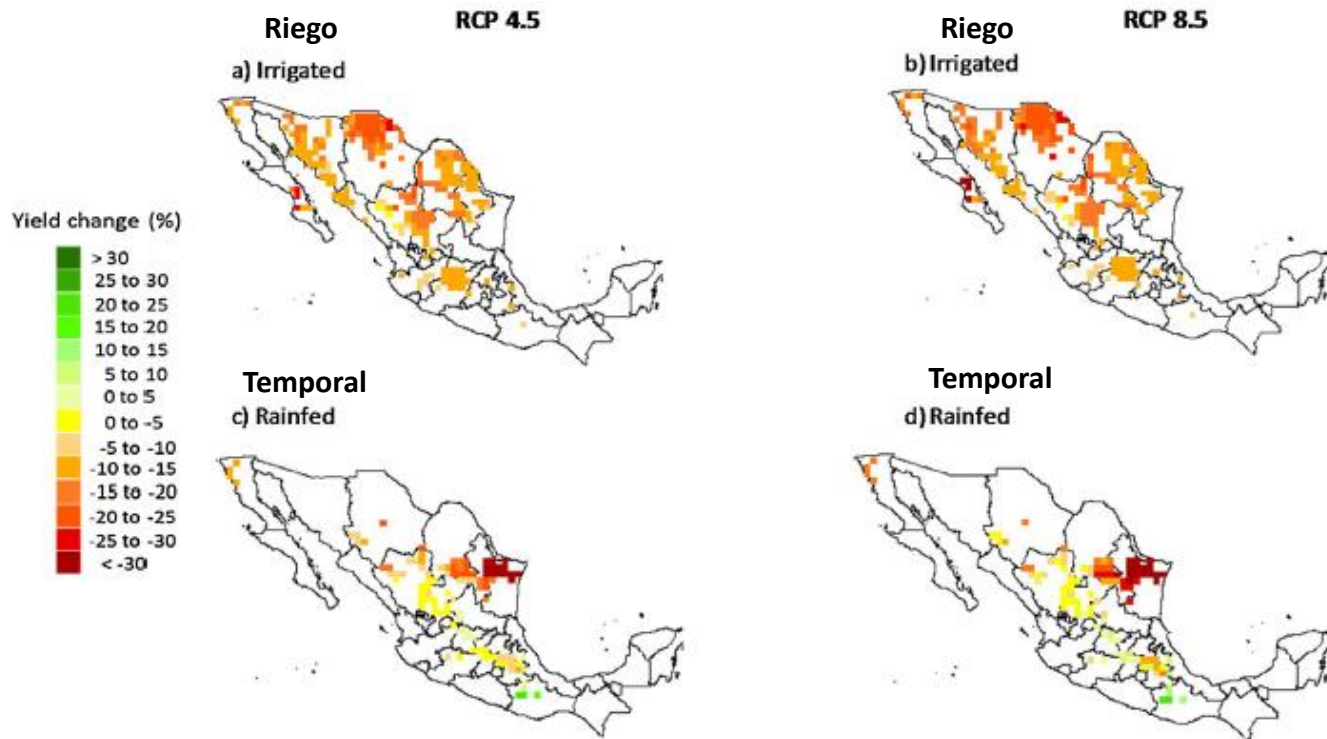


Climate change impact on Mexico wheat production
 Hernandez-Ochoa et al., 2018
 Agricultural and Forest Meteorology 263 (2018) 373–387



Impacto sobre producción de trigo en México

Cambio rendimiento

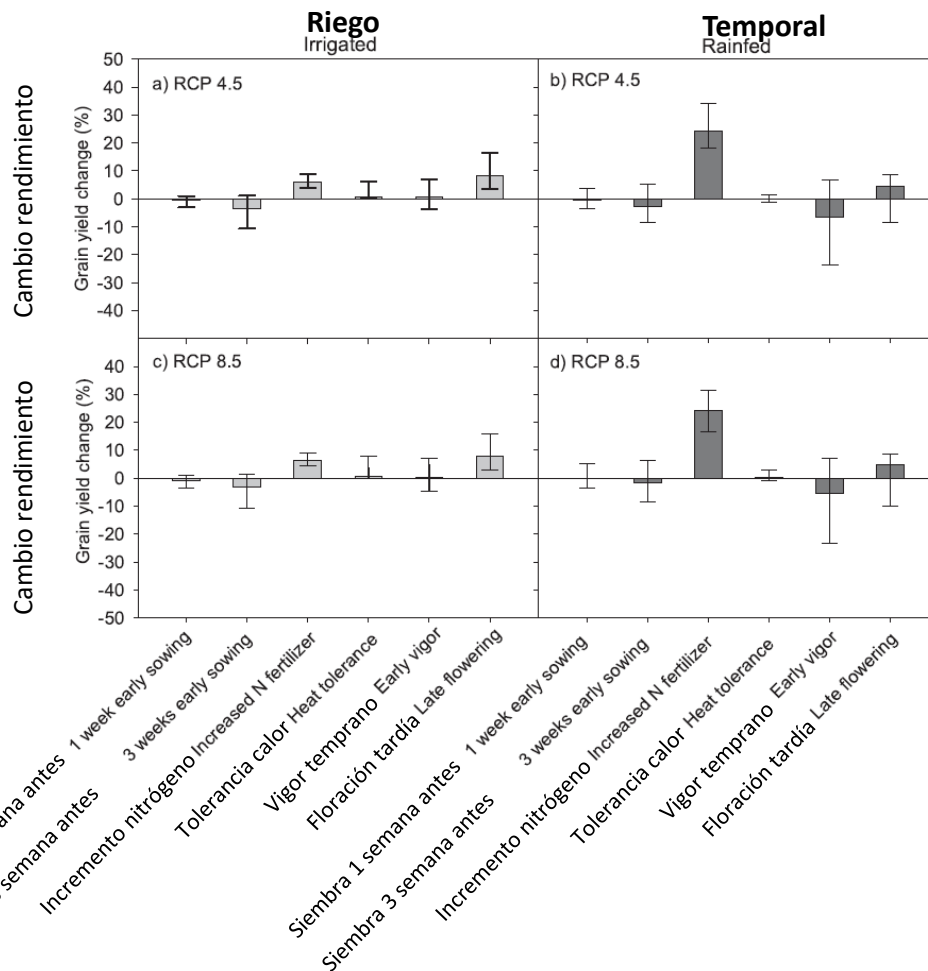


Climate change impact on Mexico wheat production
Hernandez-Ochoa et al., 2018
Agricultural and Forest Meteorology 263 (2018) 373–387



Adaptando producción de trigo en temporal y riego en condiciones semi áridas en México

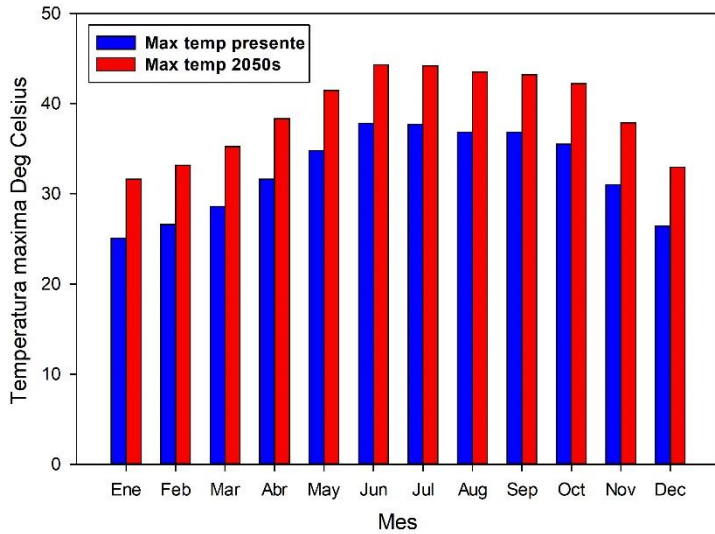
Manejo y opciones para mejoramiento



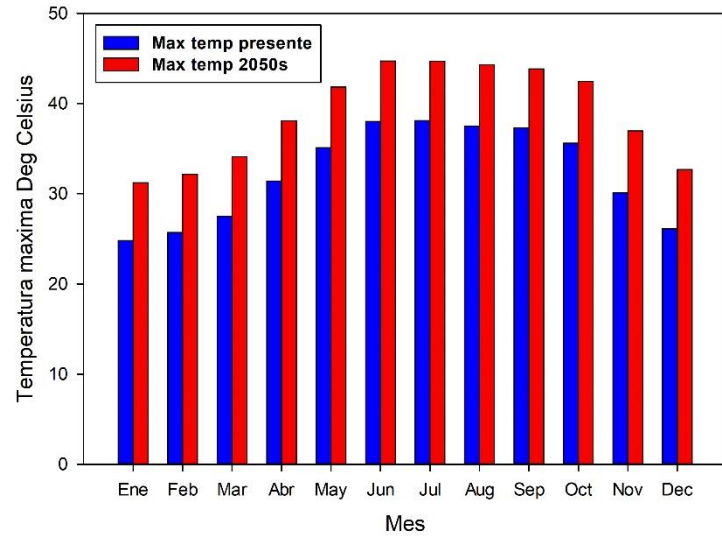
Hernandez-Ochoa et al., 2019
 European Journal of Agronomy
 Volume 109, September 2019,
 125915



Cambios temperatura máxima

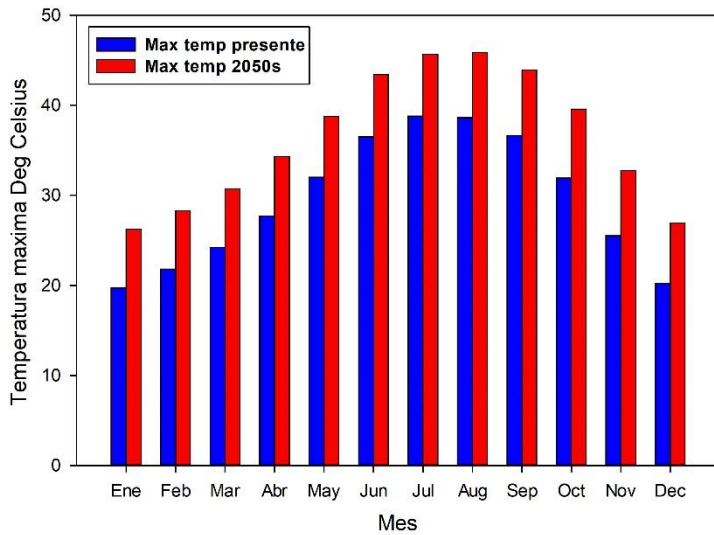


Ciudad Obregon, Sonora

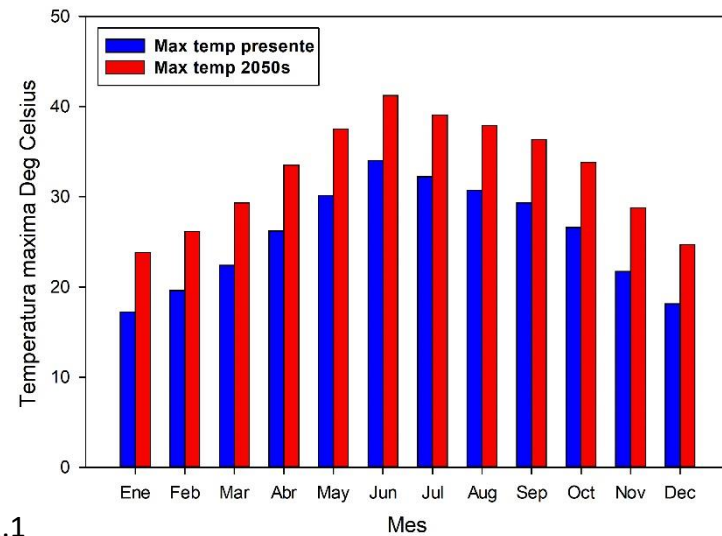


El Carrizo, Sinaloa

CMIP 6 Ensemble RCP 8.5



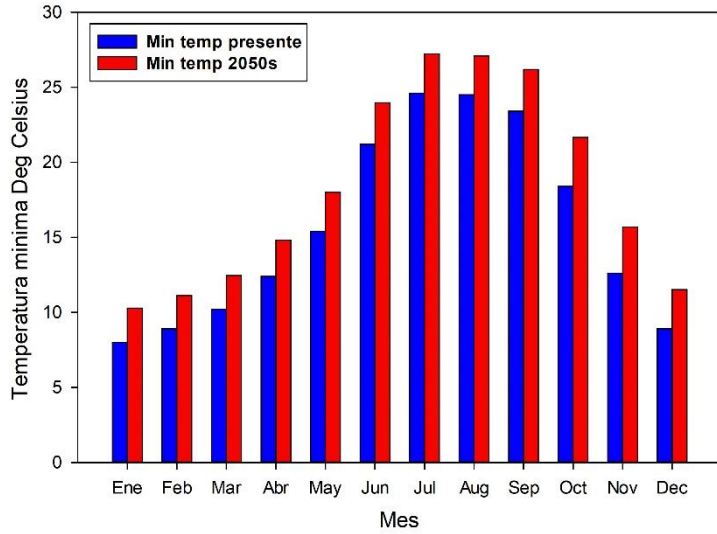
Mexicali, Baja California



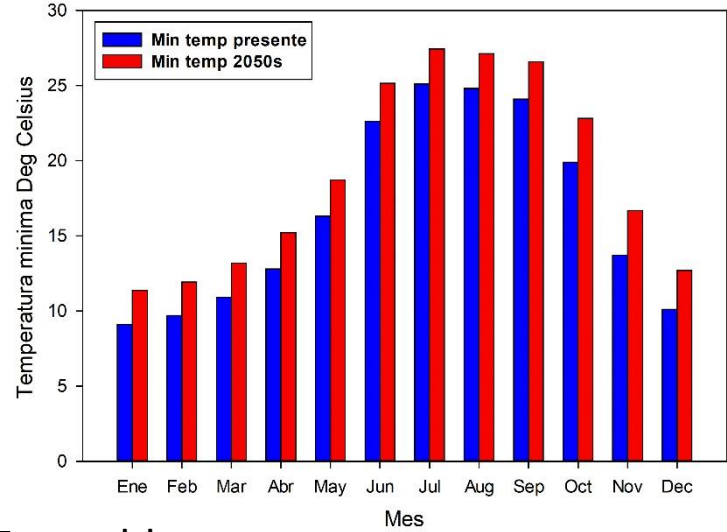
Buenaventura, Chihuahua

Worldclim 2.1

Cambios temperatura mínima

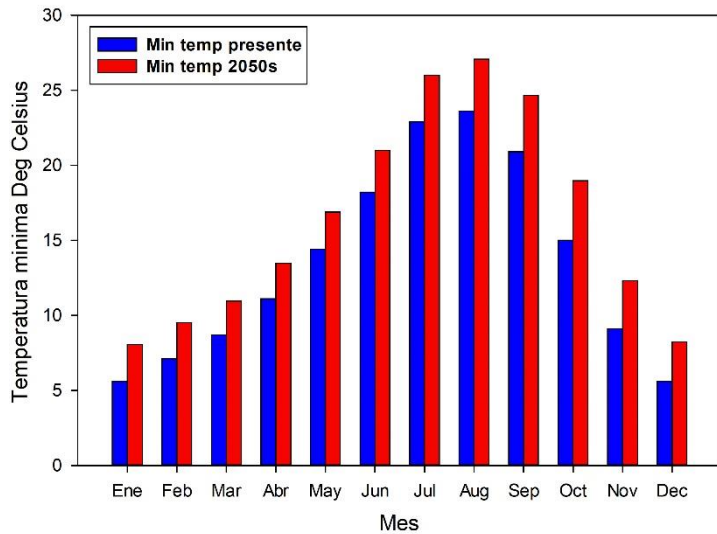


Ciudad Obregon, Sonora

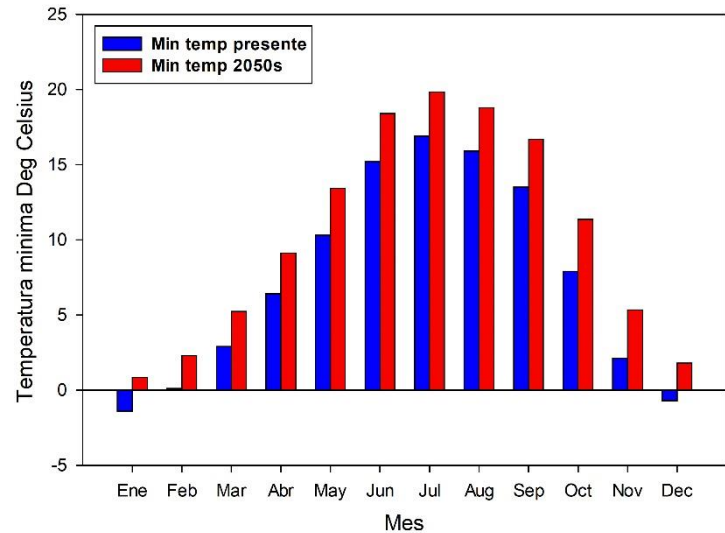


El Carrizo, Sinaloa

CMIP 6 Ensemble
RCP 8.5



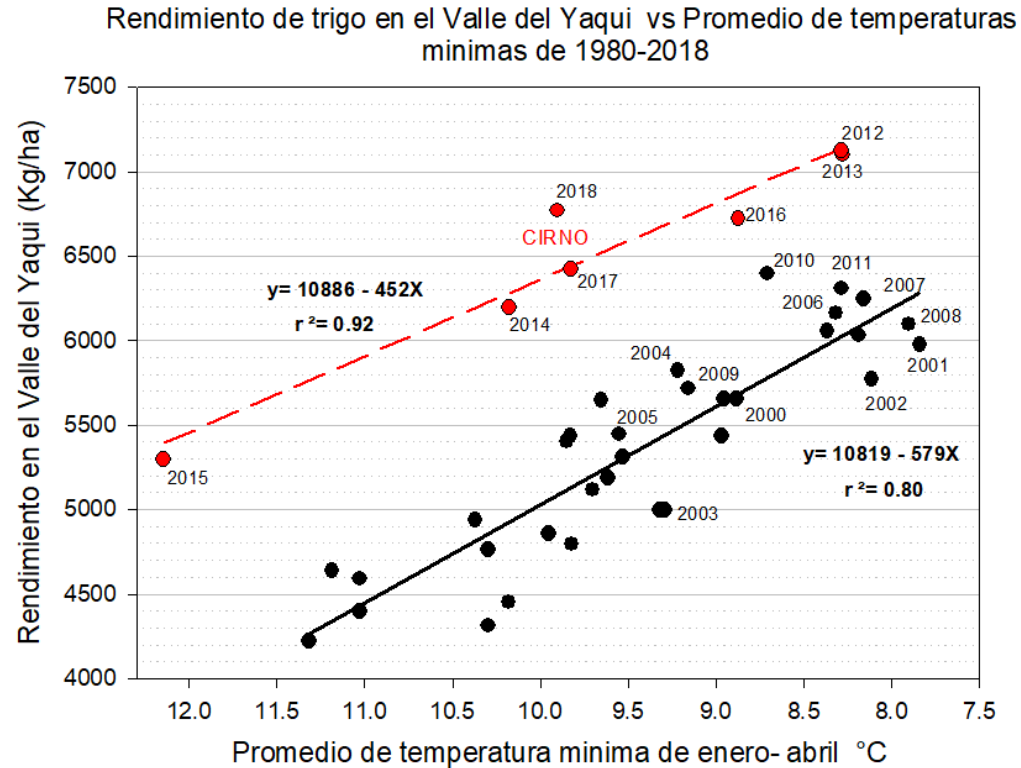
Mexicali, Baja California



Buenaventura, Chihuahua

Worldclim 2.1

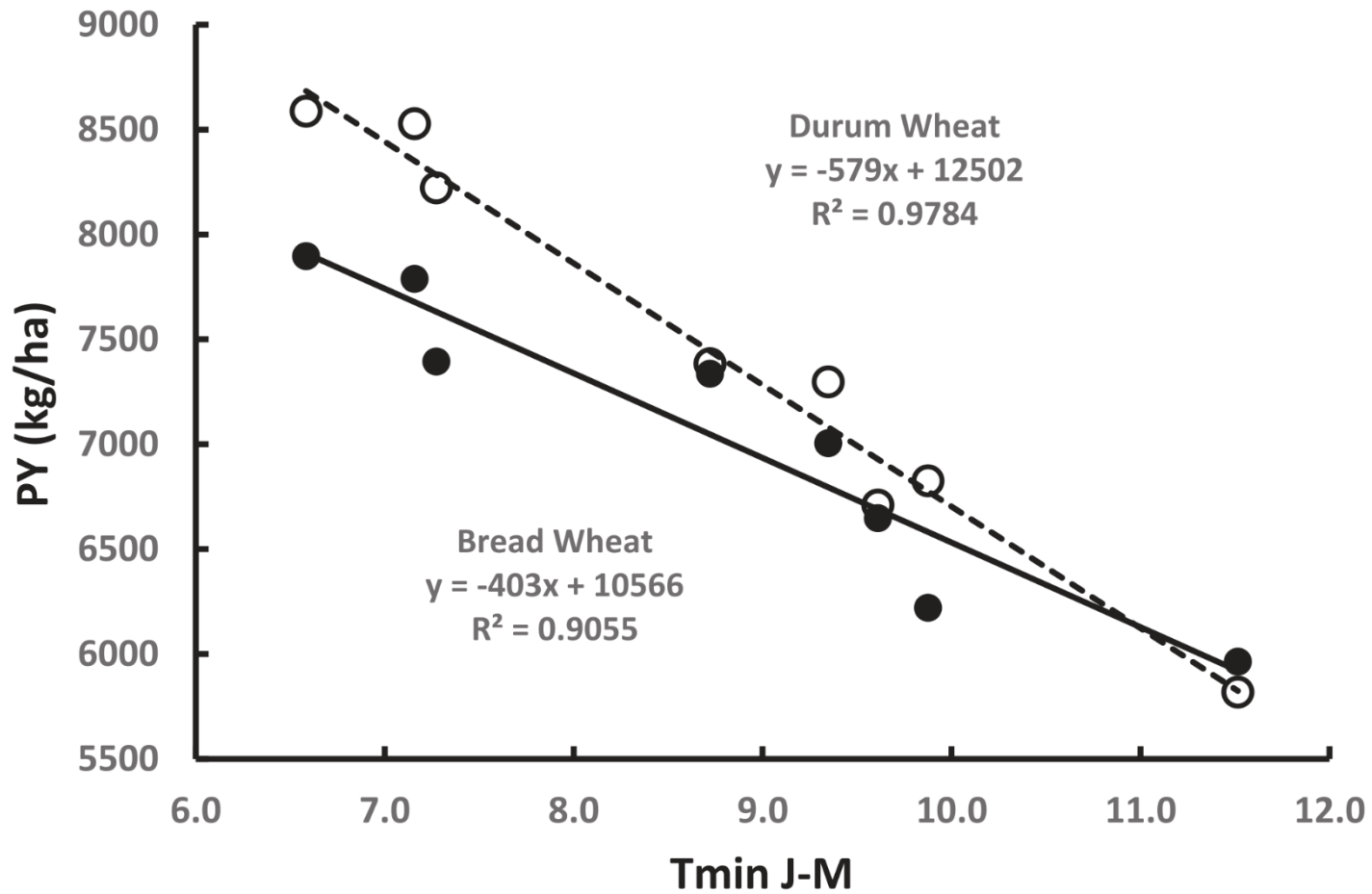
Adaptando al Cambio Climático: Trigo tolerante al calor muestra su valor en campos de productores en México



Ortiz-Monasterio, Braun y Lobell, 2018

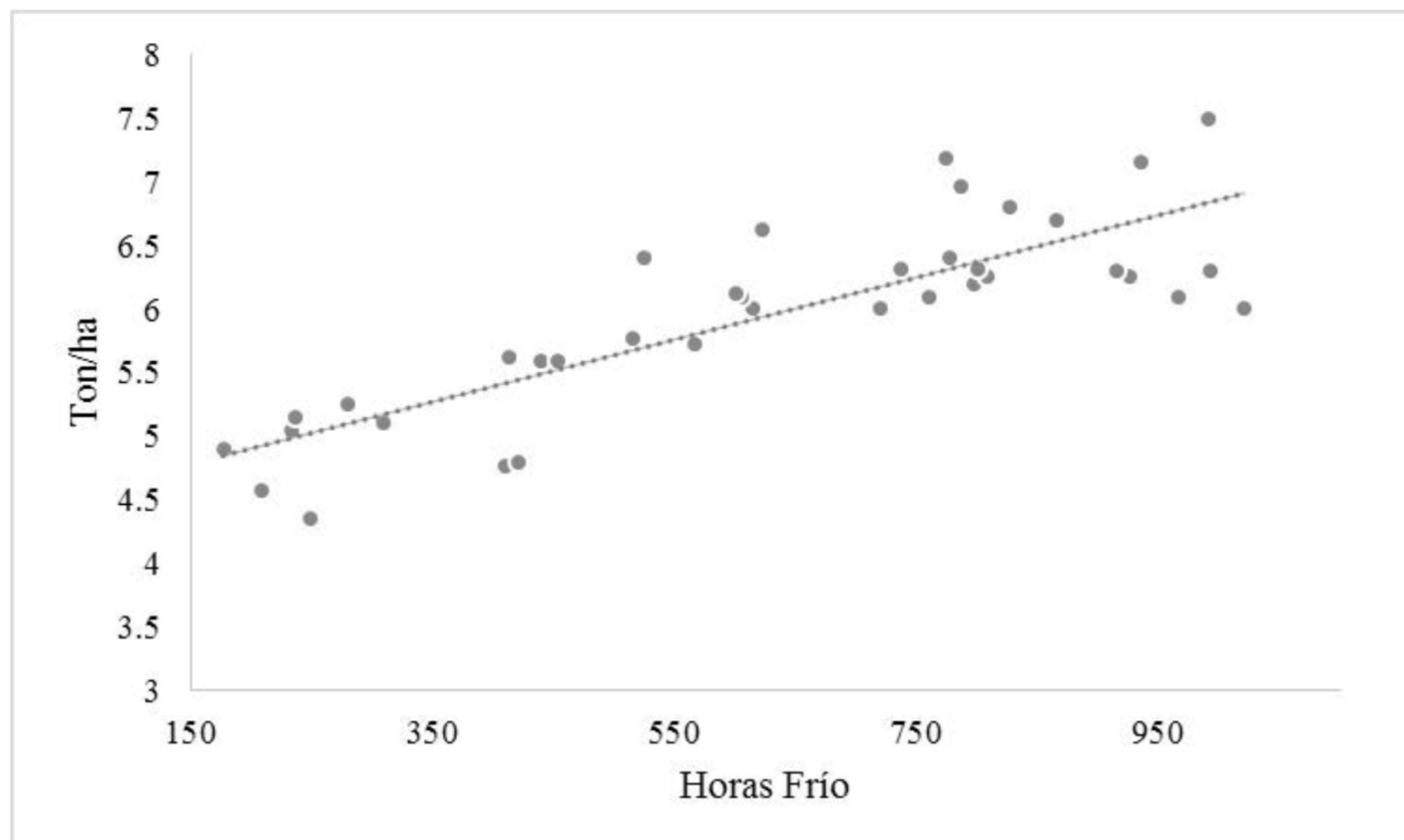


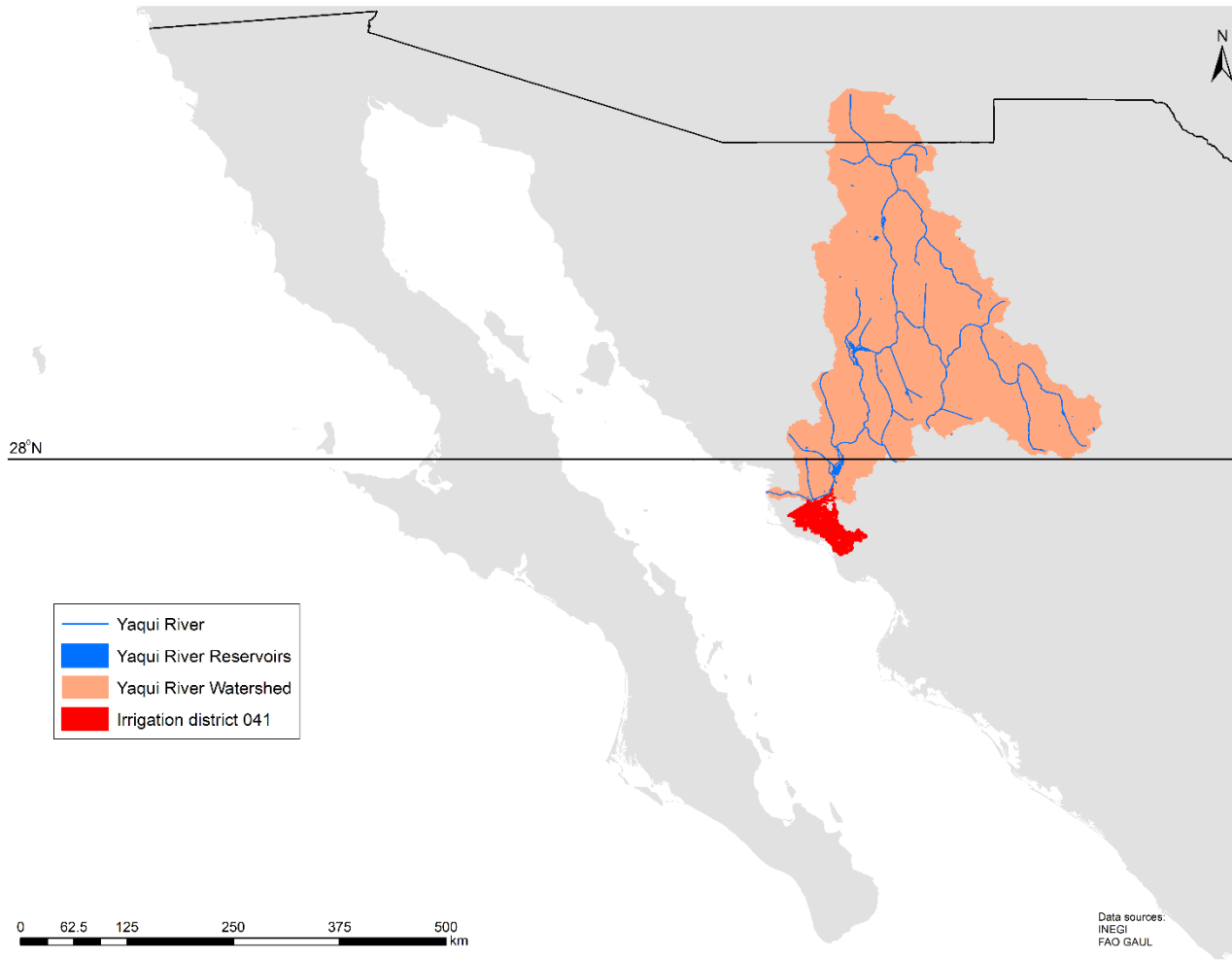
60 años de rendimientos de trigo bajo riego en el Valle del Yaqui



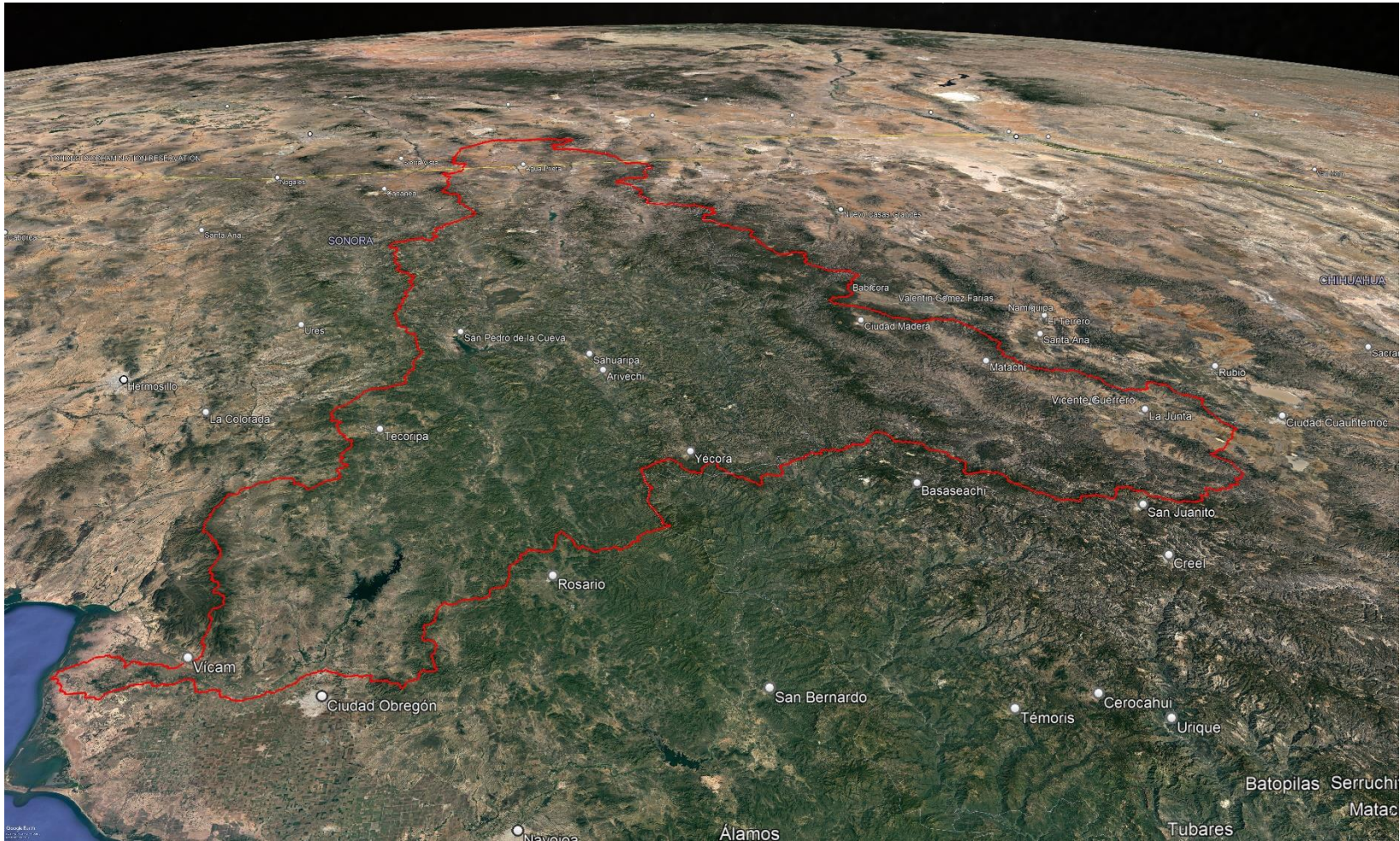
Impacto de calentamiento sobre rendimientos de trigo

Figura 4. Relación entre rendimiento productivo de trigo y horas frío registradas

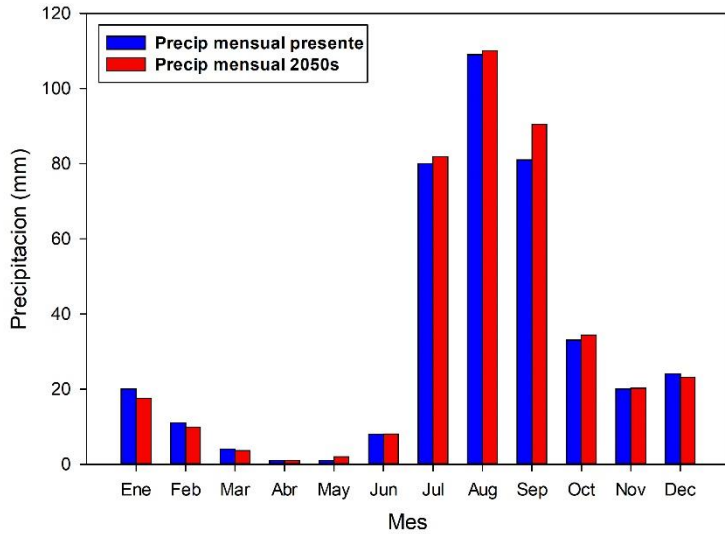




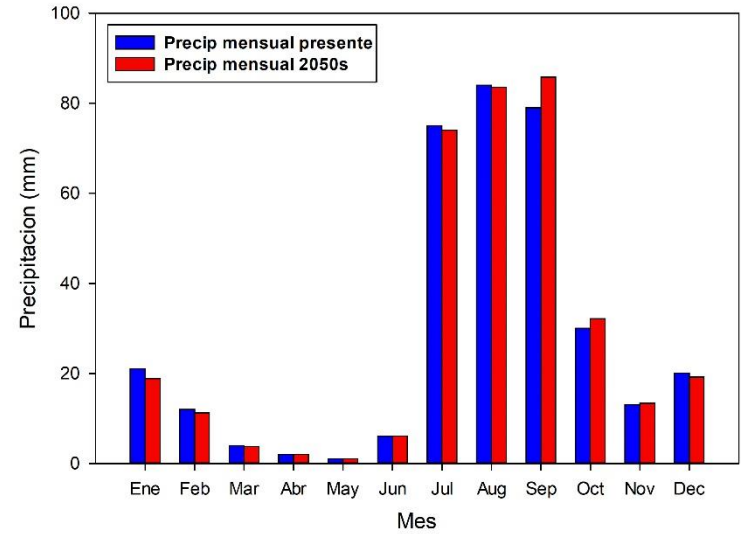
Rio Yaqui



Cambios precipitación

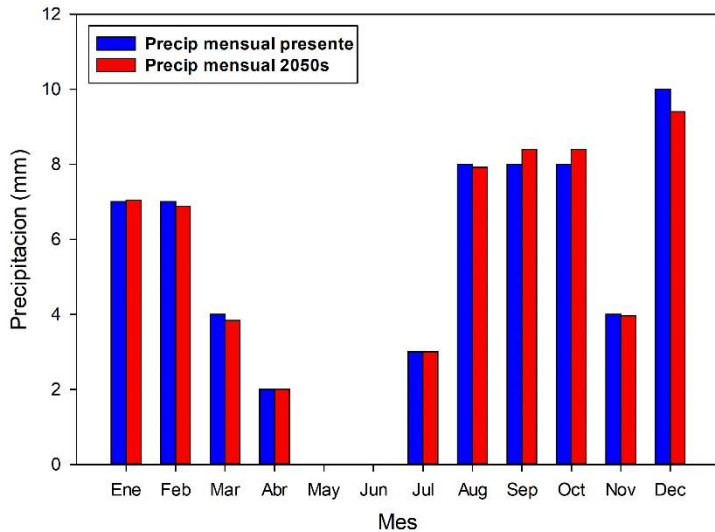


Ciudad Obregon, Sonora

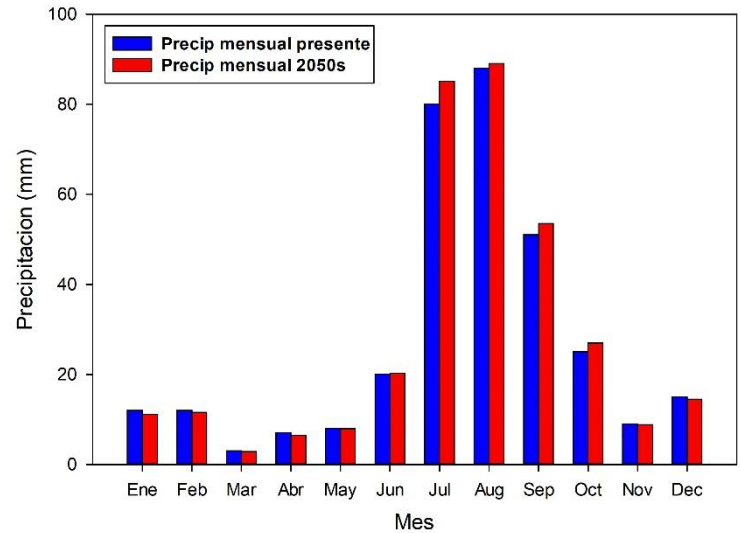


El Carrizo, Sinaloa

CMIP 6 Ensemble RCP 8.5



Mexicali, Baja California

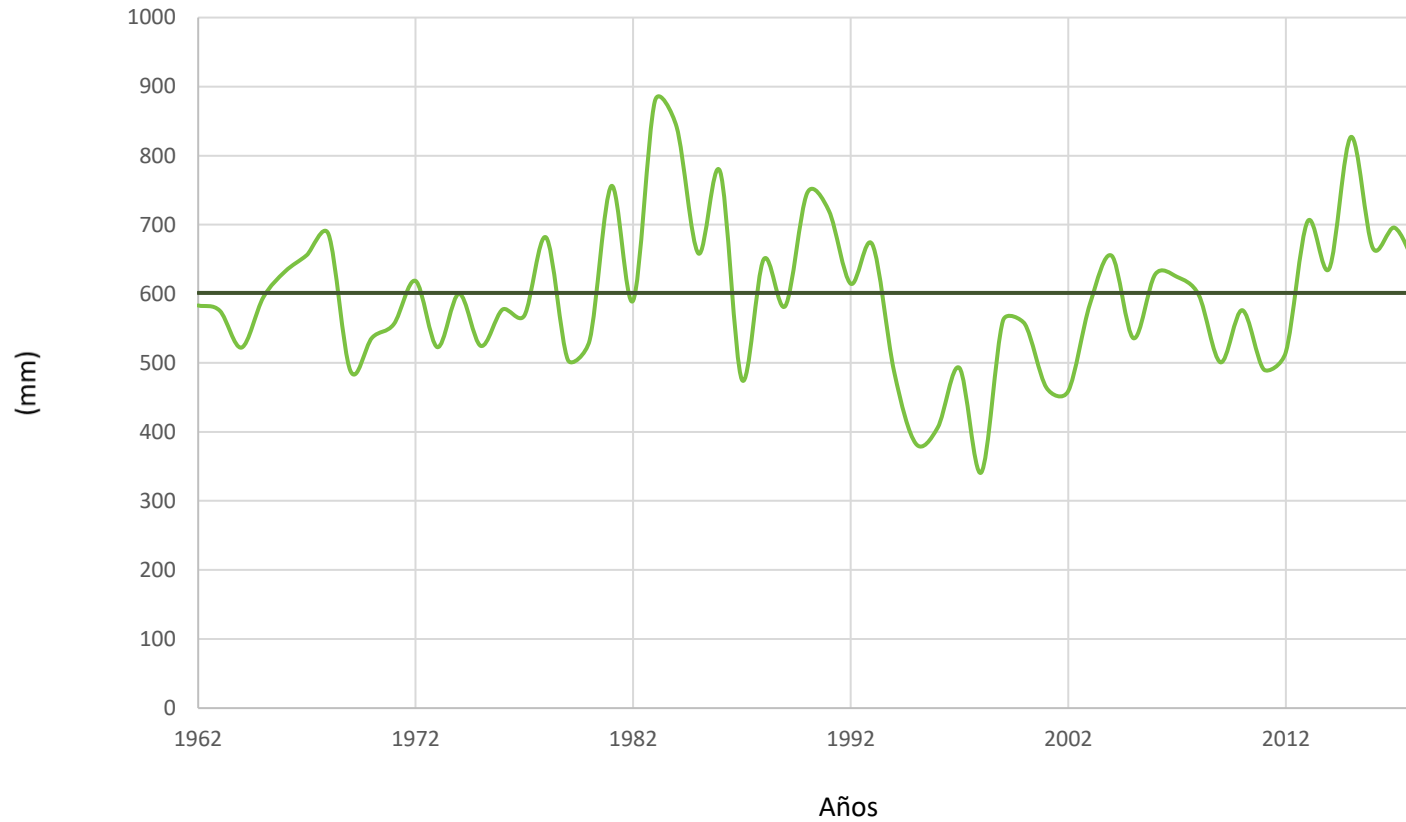


Buenaventura, Chihuahua

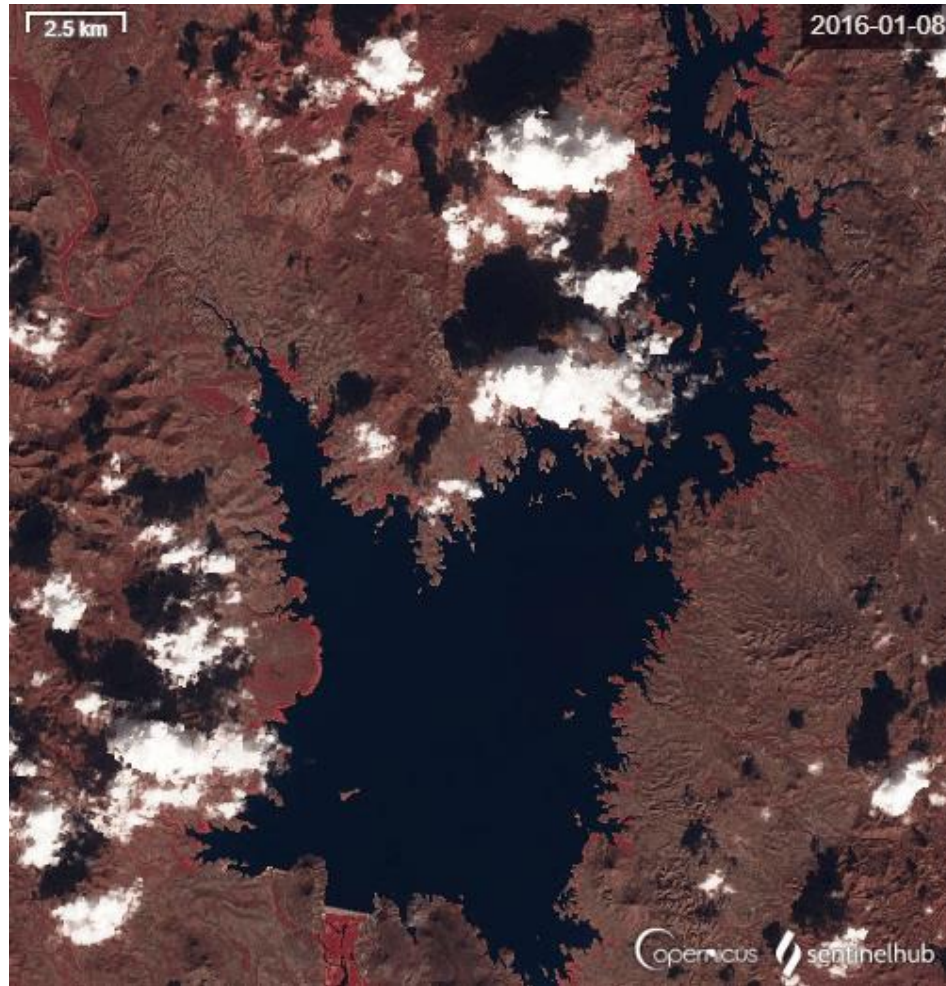
Worldclim 2.1

Cambios precipitación largo plazo

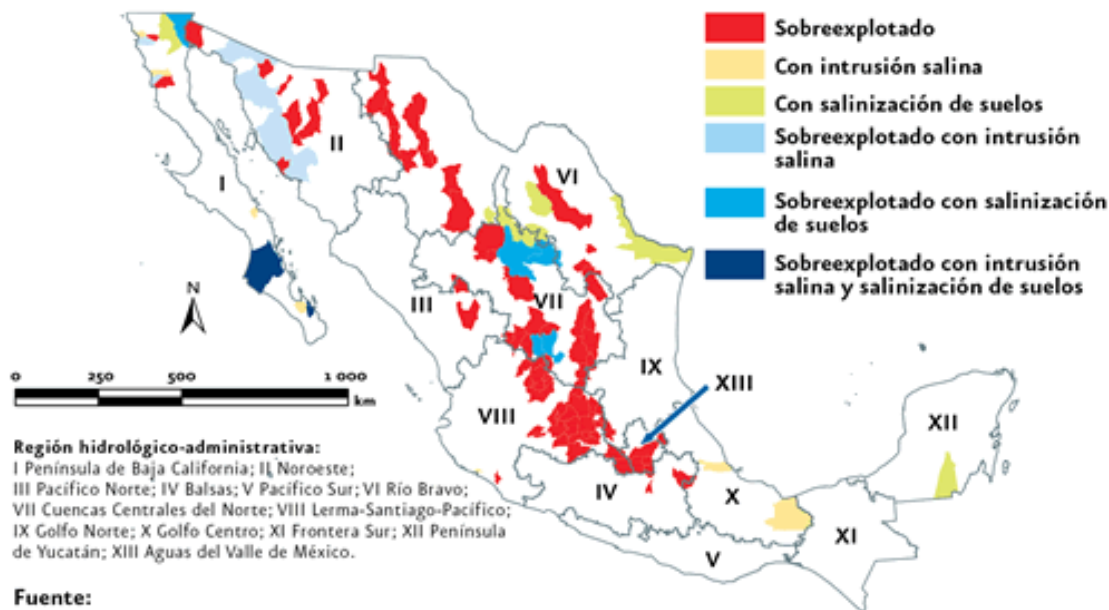
Precipitación promedio actual(—) y futuro (—)



El Oviachic



Sobre Explotación de Acuíferos



Región hidrológico-administrativa:
 I Península de Baja California; II Noroeste;
 III Pacífico Norte; IV Balsas; V Pacífico Sur; VI Río Bravo;
 VII Cuencas Centrales del Norte; VIII Lerma-Santiago-Pacífico;
 IX Golfo Norte; X Golfo Centro; XI Frontera Sur; XII Península
 de Yucatán; XIII Aguas del Valle de México.

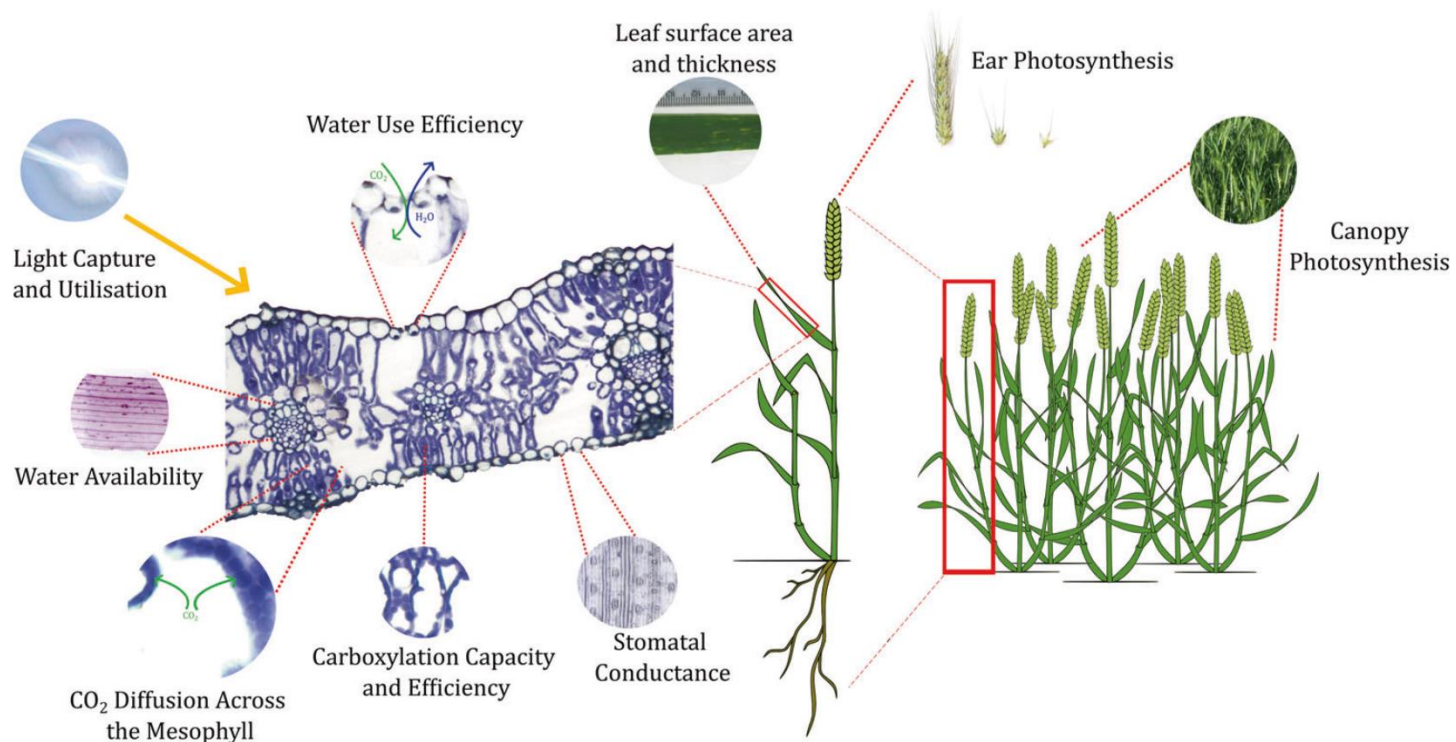
Fuente:
 Elaboración propia con datos de:
 Conagua. *Estadísticas del Agua en México, 2008*. México. 2008.

Número de RHA	Número de acuíferos				Recarga media (hm ³)
	Total	Sobreexplotado	Con intrusión marina	Bajo el fenómeno de salinización de suelos y aguas subterráneas salobres	
I	88	14	11	5	1 658
II	62	10	5		3 207
III	24	2			3 076
IV	45	1			4 873
V	36				1 936
VI	102	18		8	5 935
VII	65	23		18	2 376
VIII	128	32			9 656
IX	40	1			4 108
X	22				4 599
XI	23				22 718
XII	4		2	1	25 316
XIII	14	4			2 330
Total	653	105	18	32	91 788

Fuente: CONAGUA (2016b).

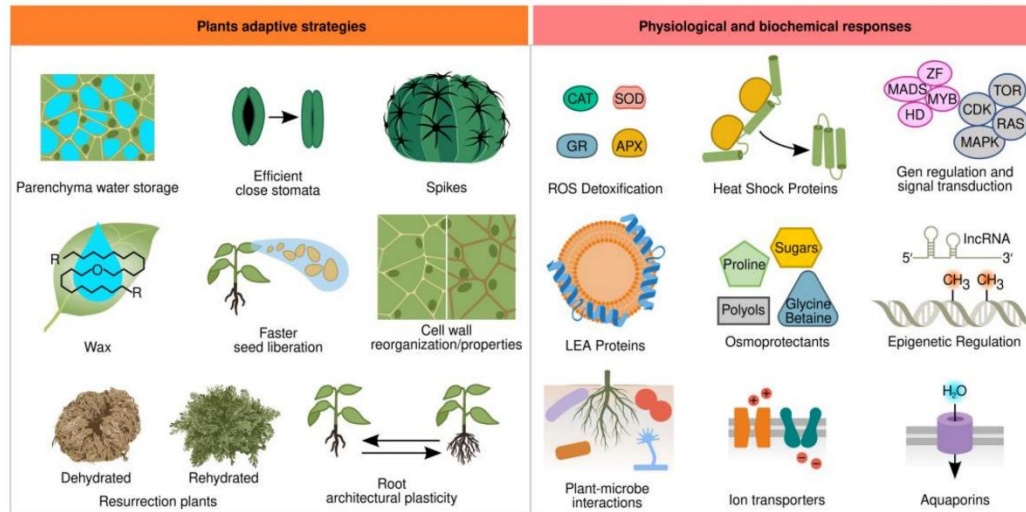
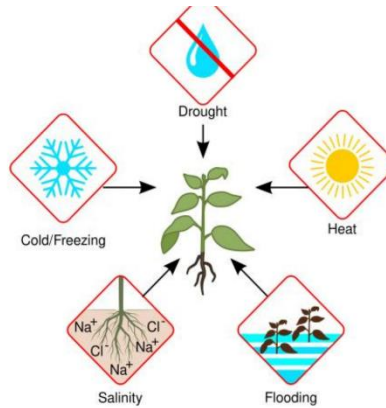


Usar la variación de adaptación a estrés abiótico de especies progenitoras de trigo en el mejoramiento

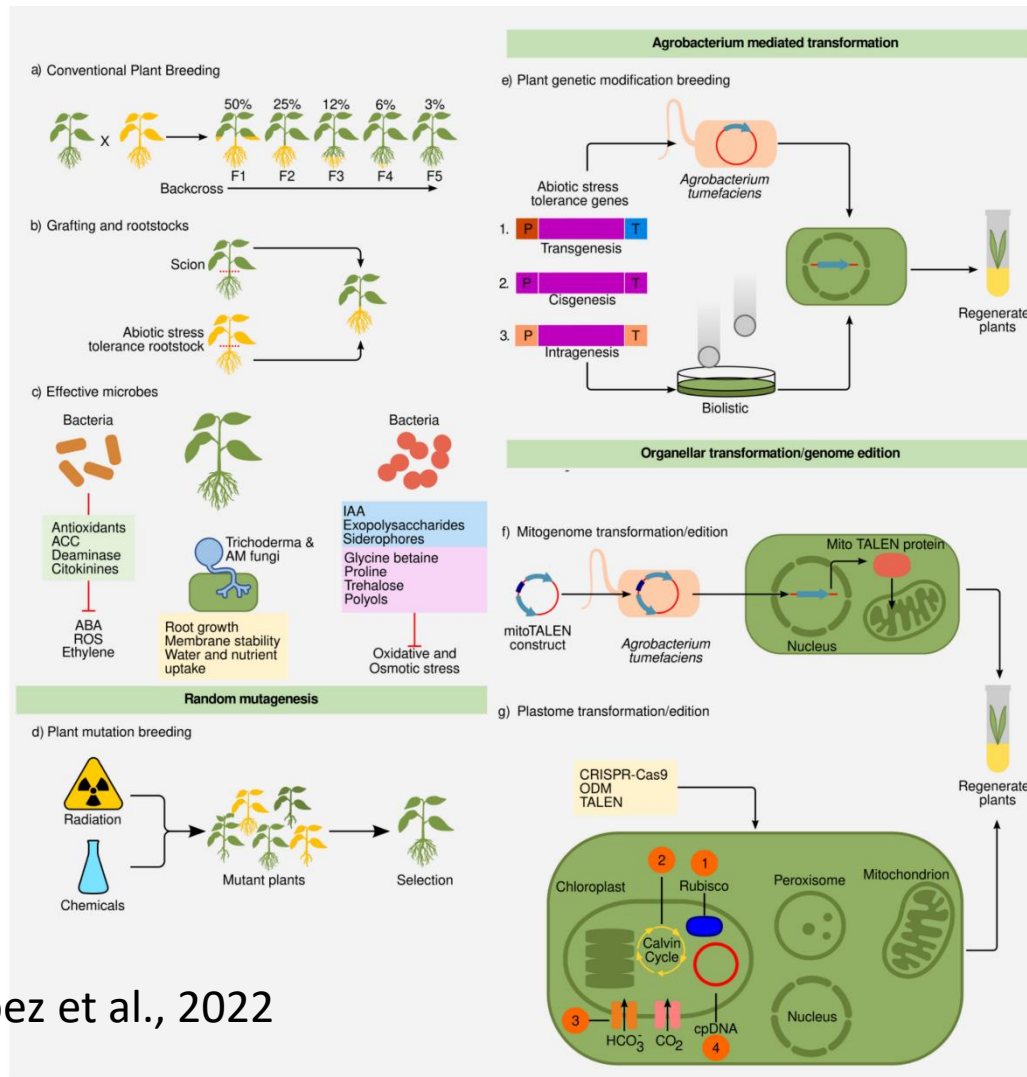


Leigh et al., 2022

Adaptación a estrés abiótico de trigo

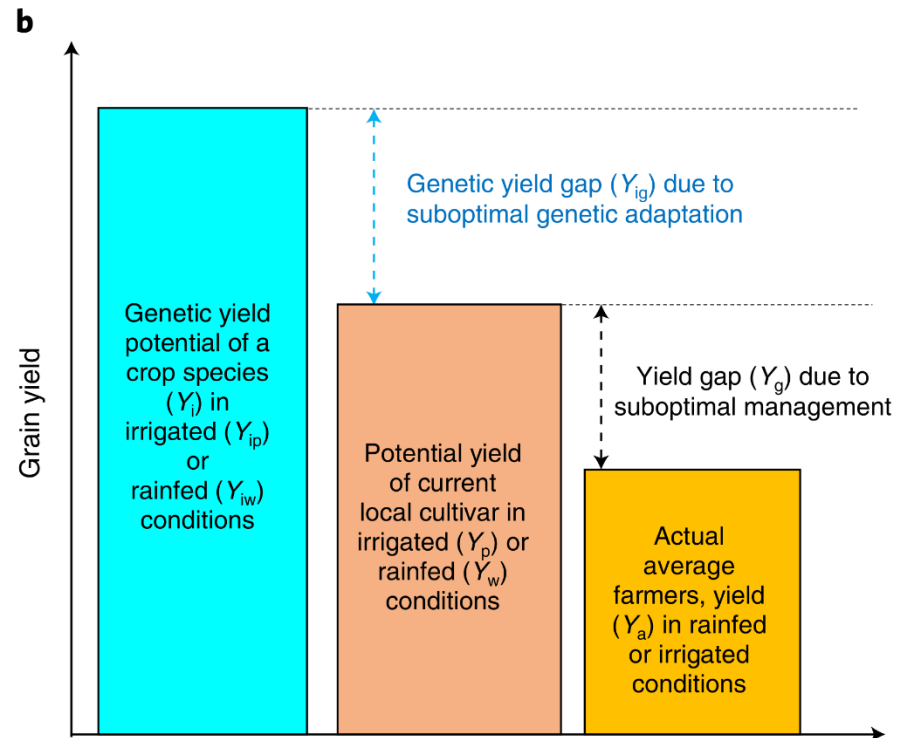
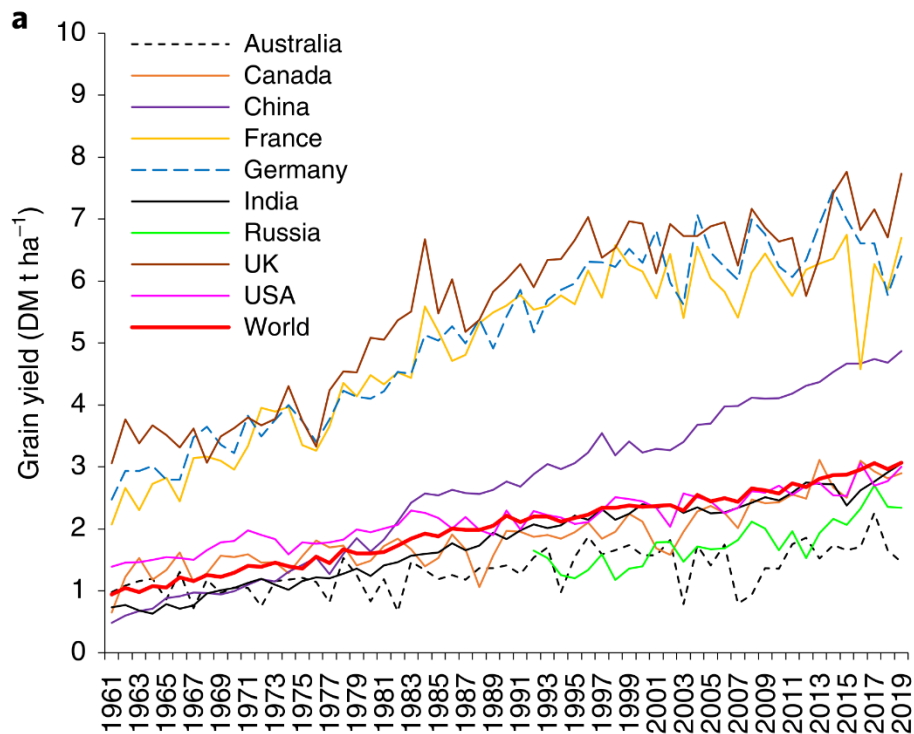


Usar diferentes metodos de mejoramiento para la adaptación a estrés abiótico de trigo en el mejoramiento



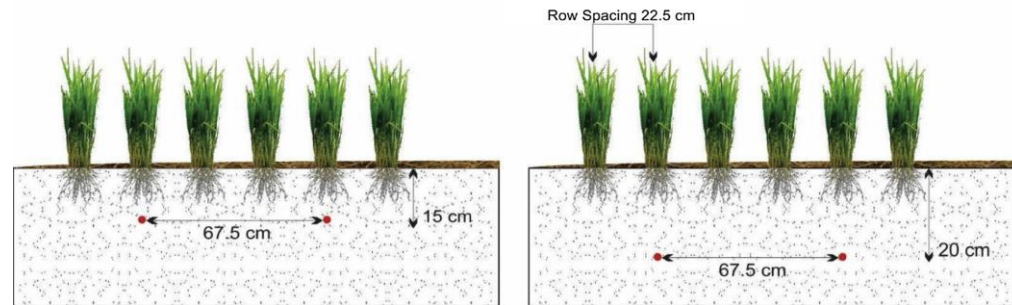
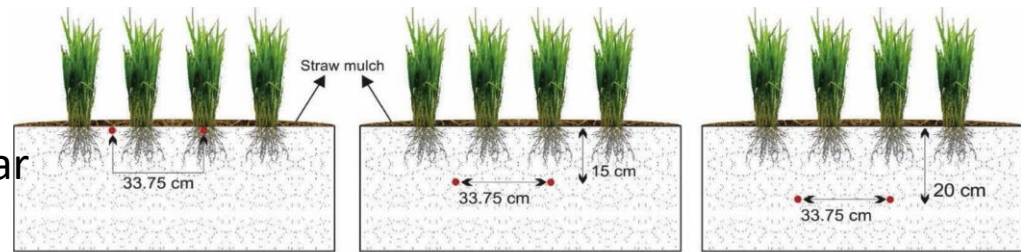
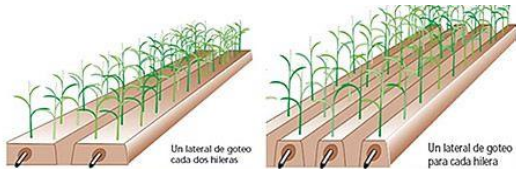
Villalobos-Lopez et al., 2022

Cerrar la brecha de rendimiento



Ferti-Irrigación de goteo sub suelo en sistemas de arroz-trigo en la India

- 20% menos uso de nitrógeno
- 50% menos energía para bombear
- 50% menos consumo de agua



H.S. Sidhu, et al.2019



Medidas para mitigar impacto de cambio climático sobre trigo:

- Nuevas variedades mas tolerantes a sequia, calor y/o inundaciones (Inversión publica y privada)
- Incrementar velocidad de Genetic Gains con fenotipo de alto rendimiento, modelos de cultivos y otras herramientas
- Explotar variabilidad de trigo guardada en bancos de germoplasma
- Aumentar velocidad de programas de mejoramiento y liberación de variedades
- Agricultura de conservación (mejor retención de agua en el suelo, menos evapotranspiración, mejor infiltración de escorrentía, menos vulnerabilidad a la erosión)
- Agricultura de precisión y agricultura climáticamente inteligente
- Sistemas de riego de precisión y goteo
- Planeación a largo plazo de sistemas de cultivo y programas de mejoramiento





Muchas gracias